# UNIVERSIDAD NACIONAL DEL SANTA FACULTAD CIENCIAS

### ESCUELA PROFESIONAL DE BIOLOGÍA EN ACUICULTURA



"Factores condicionantes de la dinámica de las floraciones del fitoplancton en la bahía de Sechura (Piura, Perú), mayo 2021-noviembre 2022"

# TESIS PARA OBTENER EL TÍTULO PROFESIONAL DE BIÓLOGO ACUICULTOR

#### **Autor:**

Bach. Burgos Borjas, Rosendo Richard

#### Asesor:

Dr. Loayza Aguilar, Rómulo Eugenio ORCID:0000-0002-1247-8277

Nuevo Chimbote, Perú

2025

# UNIVERSIDAD NACIONAL DEL SANTA FACULTAD CIENCIAS ESCUELA PROFESIONAL DE BIOLOGÍA EN ACUICULTURA



"Factores condicionantes de la dinámica de las floraciones del fitoplancton en la bahía de Sechura (Piura, Perú), mayo 2021-noviembre 2022".

## TESIS PARA OBTENER EL TÍTULO PROFESIONAL DE BIÓLOGO ACUICULTOR

Autor:

Bach. Burgos Borjas Rosendo Richard

Revisado y aprobado por el asesor:

Dr. Rómulo Eugenio Loayza Aguilar

DNI: 32813194\

ORCID:0000-0002-1247-8277

Nuevo Chimbote, Perú

2025

# UNIVERSIDAD NACIONAL DEL SANTA FACULTAD CIENCIAS ESCUELA PROFESIONAL DE BIOLOGÍA EN ACUICULTURA



"Factores condicionantes de la dinámica de las floraciones del fitoplancton en la bahía de Sechura (Piura, Perú), mayo 2021-noviembre 2022".

Revisado y aprobado por el jurado evaluador:

Dr. Juan Merino Moya

Presidente DNI: 17909299

ORCID: 0000-0002-4848-3190

DR. Rómulo Loay a Aguilar

Integrante

DNI: 32813194

ORCID: 0000-0002-1247-8277

MSc. Sorayda Mendoza Espinoza

Integrante

DNI: 32924785

ORCID: 0000-0002-9212-8030

Nuevo Chimbote, Perú

2025

# ACTA DE CALIFICACIÓN DE LA SUSTENTACIÓN DE LA TESIS

En el Distrito de Nuevo Chimbote, en la Universidad Nacional de Santa, en el laberatrico de Bullioph Amatico, siendo las 12:00 horas del
dia 19 of mayo de 2025, dando cumplimiento a la Resolución Nº
110-2025-UNS-FC se reunió el Jurado Evaluador presidido por Feruauas.
Mericus May4 teniendo como miembros a Sorceydes Mericus
para la sustentación de tesis a fin de optar el título de
realizado por el, (la), (loŝ) tesista (as)
Porendo Pichard Buyo Boyas
quien (oc) quetentó (aren) la tesis intitulada:
Tactores emolicinantes de la ciucación de las
floraunes del fitoplanctors in la balug de lechure
1 (Prusa, Peni), Mayo 2021- rumanesse 2022
Terminada la sustentación, el (la), (los) tesista (as)s respondió (ieron) a las preguntas formuladas
por los miembros del jurado.
El Jurado después de deliberar sobre aspectos relacionados con el trabajo, contenido y
sustentación del mismo y con las sugerencias pertinentes, declara la sustentación como
EXCELENTE asignándole un calificativo de dieurmere (19) puntos, según
artículo 112° del Reglamento General de Grados y Títulos vigente (Resolución N° 337-2024-CU
R-UNS).
12-15
Siendo las 12:45. horas del mismo día se dio por terminado el acto de sustentación firmando
los miembros de Jurado en señal de conformidad
( 1161)
South the
Nombre: Felleway Werin W.  Nombre: Stray de, Mendry, E.  Secretario
Nombre: Filleductor M Mus M. Nombre: Artay de, VI Eucky, E.
V Presidente Secretario
( k / \
Nambre Brings Actor 2 a 1
Integrante.

 $\underline{Distribuci\'on} : Integrantes J.E \left( \ \right), tesistas \left( \ \right) y \ archivo (02).$ 



# Recibo digital

Este recibo confirma quesu trabajo ha sido recibido por Turnitin. A continuación podrá ver la información del recibo con respecto a su entrega.

La primera página de tus entregas se muestra abajo.

Autor de la entrega: Rosendo Richard Burgos Borjas

Título del ejercicio: Factores condicionantes de la dinámica de las floraciones del ...

Título de la entrega: Tesis final corregida Rosendo.docx Nombre del archivo: Tesis\_final\_corregida\_Rosendo.docx

Tamaño del archivo: 1.82M

Total páginas: 43

Total de palabras: 9,753

Total de caracteres: 53,691

Fecha de entrega: 03-oct-2025 09:38a. m. (UTC-0500)

Identificador de la entrega: 2769792409



Derechos de autor 2025 Turnitin. Todos los derechos reservados.

### Tesis final corregida Rosendo.docx

INFORM	ME DE ORIGINALIDAD			
1 INDICE	% E DE SIMILITUD	11% FUENTES DE INTERNET	6% PUBLICACIONES	% TRABAJOS DEL ESTUDIANTE
FUENTE	S PRIMARIAS			
1	www.tdx Fuente de Inter			3%
2	hdl.hand Fuente de Inter			2%
3	repositor Fuente de Inter	rio.unjfsc.edu.pe	9	1 %
4	revistas.l Fuente de Inter	amolina.edu.pe		1 %
5	WWW.jUS1	tanswer.es		1 %
6	repositor Fuente de Inter	rio.uns.edu.pe		<1%
7	repositor Fuente de Inter	rio.unfv.edu.pe		<1 %
8	tintafres Fuente de Inter	ca.com.ar		<1 %
9	repositor	rio.urp.edu.pe		<1%
10	info.und			

#### **DEDICATORIA**

A Dios por permitir llegar a esta etapa de mi vida por darme la fuerza de voluntad, apoyo espiritual y brindarme la salud para poder realizar este trabajo. A mis amados padres, a mi papá Adelmo Burgos hasta el cielo por el gran ejemplo que fue para mí y a mi mamá Lucila Borjas por ser el pilar fundamental en mi vida, por su apoyo incondicional en todo momento de mi vida. A mis hermanos que siempre me mostraron su apoyo y son también un gran ejemplo de vida.

#### **AGRADECIMIENTO**

Mi más grande agradecimiento a mi asesor, el profesor Rómulo Eugenio Loayza Aguilar por su paciencia, por estar siempre dispuesto a resolver mis dudas, por el tiempo brindado para guiarme en la elaboración de este trabajo. A todos los profesores de la Escuela de Biología en Acuicultura por compartir sus conocimientos a lo largo de la carrera universitaria. A Edith Valdivia, mi compañera de vida por escucharme y apoyarme emocionalmente durante la elaboración de este proyecto. Al Organismo Nacional de Sanidad Pesquera (SANIPES) por depositar su confianza y brindar toda la información necesaria para desarrollar esta investigación.

# ÍNDICE

DED	ICATO	RIA	X
AGR	ADECI	MIENTO	X
ÍNDI	CE DE	TABLAS	xii
RESU	JMEN.		xiv
ABST	TRACT		xv
I.	INTR	ODUCCIÓN	13
II.	MAR	CO TEÓRICO	15
III.	MAT	ERIALES Y MÉTODOS	17
IV.	RESU	ILTADOS	23
4.1	. Va	riación espacial del fitoplancton en la bahía de Sechura	23
4.2	. Va	riación temporal promedio de los factores ambientales	25
4	1.2.1.	Transparencia	25
4	1.2.2.	Oxígeno Disuelto.	25
4	1.2.3.	Temperatura	25
4	1.2.4.	Salinidad	25
4	1.2.5.	рН.	25
4.3	. Va	riación de los parámetros ambientales y la densidad algal total en las nuev	⁄e
áre	as de e	studio.	27
4.4		rrelación entre parámetros y la densidad de fitoplancton en las áreas de	31
V.	DISC	USIÓN	32
VI.	CON	CLUSIONES	34
VII.	REC	OMENDACIONES	35
VIII.	REFE	RENCIAS BIBLIOGRÁFICAS	35
IX.	ANEX	KOS	38

## ÍNDICE DE TABLAS

<b>Tabla 1.</b> Reportes de floraciones algales en el ecosistema marino peruano.	17
Tabla 2. Grado de relación según coeficiente de correlación	22
Tabla 3. Especies causantes de las Floraciones algales en las nueve áreas de estudio en	la bahía
de Sechura periodo mayo 2021-noviembre 2022.	23
Tabla 4. Valor promedio (± desviación estándar) de los parámetros abióticos en las nue	eve áreas
de estudio.	25
Tabla 5. Áreas predominantes de la correlación (Spearman) entre los parámetros y la d	ensidad
fitoplanctónica	32
Tabla 6. Densidad de los grupos taxonómicos en las floraciones algales durante el perio	odo de
estudio.	38
Tabla 7. Valores de los parámetros y densidad total en todas las fechas de muestreo en	las
nueve áreas de estudio.	39
Tabla 8. Análisis de correlación de Spearman en el área de Barrancos.	44
Tabla 9. Análisis de correlación de Spearman en el área de Chulliyachi	44
Tabla 10. Análisis de correlación de Spearman en el área de Constante.	45
Tabla 11. Análisis de correlación de Spearman en el área de Las Delicias	45
Tabla 12. Análisis de correlación de Spearman en el área de Matacaballo	46
Tabla 13. Análisis de correlación de Spearman en el área de Parachique	46
Tabla 14. Análisis de correlación de Spearman en el área de Puerto Rico.	47
Tabla 15. Análisis de correlación de Spearman en el área de San Pedro	
Tabla 16.         Análisis de correlación de Spearman en el área de Vichayo	48

## ÍNDICE DE FIGURAS

Figura 1. Puntos de muestreo en el área de producción de Barrancos	17
Figura 2. Puntos de muestreo en el área de producción de Chulliyachi	18
Figura 3. Puntos de muestreo en el área de producción de Constante.	18
Figura 4. Puntos de muestreo en el área de producción de Las Delicias.	19
Figura 5. Puntos de muestreo en el área de producción de Matacaballo	19
Figura 6. Puntos de muestreo en el área de producción de Parachique	20
Figura 7. Puntos de muestreo en el área de producción de Puerto Rico.	20
Figura 8. Puntos de muestreo en el área de producción de San Pedro	21
Figura 9. Puntos de muestreo en el área de producción de Vichayo	21
Figura 10. Porcentaje de cada uno de los grupos taxonómicos causantes de las FA	23
Figura 11. Variación temporal de las especies que produjeron FA en las nueve áreas de	
estudio.	24
Figura 12. Variación temporal en valores medios de los parámetros y densidad total del	
fitoplancton en el área de Barrancos.	27
Figura 13. Variación temporal en valores medios de los parámetros y densidad total del	
fitoplancton en el área de Chulliyachi	27
<b>Figura 14.</b> Variación temporal en valores medios de los parámetros y densidad total del	
fitoplancton en el área de Constante.	28
<b>Figura 15.</b> Variación temporal en valores medios de los parámetros y densidad total del	
fitoplancton en el área de Las delicias	28
<b>Figura 16.</b> Variación temporal en valores medios de los parámetros y densidad total del	
fitoplancton en el área de Matacaballo	29
<b>Figura 17.</b> Variación temporal en valores medios de los parámetros y densidad total del	
fitoplancton en el área de Parachique	29
<b>Figura 18.</b> Variación temporal en valores medios de los parámetros y densidad total del	
fitoplancton en el área de Puerto Rico	30
<b>Figura 19.</b> Variación temporal en valores medios de los parámetros y densidad total del	
fitoplancton en el área de San Pedro.	30
<b>Figura 20.</b> Variación temporal en valores medios de los parámetros y densidad total del	2.1
fitoplancton en el área de Vichayo	31

#### **RESUMEN**

Se analizó la base de datos de las nueve áreas de producción de la bahía de Sechura proporcionada por el Organismo Nacional de Sanidad Pesquera (SANIPES), correspondiente al periodo mayo 2021 – noviembre 2022. Se determinó la dinámica del fitoplancton en función de su densidad, el comportamiento de los factores ambientales (transparencia, oxígeno, temperatura, salinidad y pH), así como también se analizó la dinámica de las floraciones algales (FA) en relación con estos factores abióticos. Para el procesamiento de estos datos se usó el software Microsoft Excel e IBM SPSS Statistics 21. Se encontró que el 74% de las floraciones fueron causadas por diatomeas, el 17% por flagelados no identificados, el 6% por rafidofitas y el 3% por dinoflagelados, además las densidades fluctuaron entre 1132938 cél/L y 53034458 cél/L. Las especies identificadas como responsables fueron las diatomeas (Detonula pumila, Skeletonema costatum, Chaetoceros sp, Chaetoceros socialis, Thalassionema nitzschioides, Leptocylindrus danicus), dinoflagelados (orden Peridiniales), rafidofitas (Heterosigma akashiwo). Los valores promedios de los parámetros fueron: transparencia (1.25 – 6.50 m); oxígeno disuelto (1.79 – 7.95 mg/L); temperatura (14.75 – 22.60 °C); salinidad (32.28 – 35.54 ppm) y pH (7.7 - 8.77). Además, a través de las pruebas de correlación de Spearman se concluyó que las diatomeas y otros flagelados presentaron correlación positiva alta con la temperatura, mientras que los dinoflagelados mostraron correlación positiva alta con el pH. Por otro lado, se encontró una correlación negativa alta entre diatomeas y salinidad.

Palabras clave: Bahía de Sechura, fitoplancton, floraciones algales, parámetros, correlación.

#### **ABSTRACT**

The database of the nine production areas of Sechura Bay, provided by the National Fisheries Health Organisation (SANIPES), corresponding to the period May 2021 – November 2022, was analysed. The dynamics of phytoplankton were determined based on their density, the behaviour of environmental factors (transparency, oxygen, temperature, salinity, and pH), as well as the dynamics of algal blooms (AB) in relation to these abiotic factors. For the processing of these data, the software Microsoft Excel and IBM SPSS Statistics 21 were used. It was found that 74% of the blooms were caused by diatoms, 17% by unidentified flagellates, 6% by raphidophytes, and 3% by dinoflagellates. In addition, densities fluctuated between 1,132,938 cells/L and 53,034,458 cells/L. The species identified as responsible were diatoms (*Detonula pumila*, Skeletonema costatum, Chaetoceros sp., Chaetoceros socialis, Thalassionema nitzschioides, Leptocylindrus danicus), dinoflagellates (order Peridiniales), and raphidophytes (*Heterosigma akashiwo*). The average values of the parameters were: transparency (1.25 - 6.50 m); dissolved oxygen (1.79 - 7.95 mg/L); temperature (14.75 mg/L)-22.60 °C); salinity (32.28 -35.54 ppm); and pH (7.7 -8.77). Furthermore, through Spearman's correlation tests, it was concluded that diatoms and other flagellates exhibited a strong positive correlation with temperature, while dinoflagellates showed a strong positive correlation with pH. On the other hand, a strong negative correlation was found between diatoms and salinity.

**Keywords:** Sechura Bay, phytoplankton, algal blooms, parameters, correlation.

#### I. INTRODUCCIÓN

El desarrollo de la acuicultura mundial implica el crecimiento de las áreas naturales acuáticas dedicadas a la producción, en atención a la intensidad de cultivo, pero a su vez implica impactos y en un porcentaje importante de los casos, debido a la utilización de recursos para la alimentación de los organismos en cultivo.

La acuicultura ofrece beneficios económicos, sociales y ecológicos (ej. repoblación de especies y alivio de la presión pesquera), pero una mala gestión puede causar impactos ambientales, sociales y económicos negativos (FAO, 2011); como por ejemplo la acumulación de nutrientes, principalmente formas de nitrógeno y fósforo, que pueden desencadenar floraciones de fitoplancton, esto a su vez implica mayor demanda de oxígeno en la columna de agua y acumulación de materia orgánica en los sedimentos, perjudicando a las especies nativas bentónicas, como también a las que se cultivan.

Para evitar o mitigar los problemas derivados de la acuicultura, Soto et al. (2008) definieron el Enfoque Ecosistémico de la Acuicultura (EEA) como una estrategia para integrar la acuicultura en el ecosistema, asegurando sostenibilidad, equidad y resiliencia. La FAO (2011) lo adoptó, estableciendo tres principios clave: (a) minimizar impactos ambientales considerando los límites del ecosistema, (b) promover el bienestar humano y la equidad en la distribución de beneficios, y (c) fomentar la cooperación intersectorial para un mejor uso de los recursos. Actualmente se intuye que cualquier actividad acuícola que se quiera instalar debe tener en cuenta estos principios, de tal manera que su desarrollo no genere efectos negativos en los ecosistemas y la sociedad.

En este contexto, la práctica de la acuicultura en ecosistemas cerrados (lagos, lagunas) o semicerrados (bahías, ensenadas), puede promover la acumulación de nutrientes y generar problemas serios, como la eutrofización, cambios negativos en el sistema bentónico por acumulación de materia orgánica y demanda de oxígeno por actividad bacteriana que a su vez implica liberación de más nutrientes, que luego se incorporan en la columna de agua, promoviendo las floraciones algales (FA) y finalmente exacerbando la eutrofización.

Las bahías suelen ser reconocidas como ecosistemas críticos que ofrecen hábitats para diversas especies, protegen las costas de la erosión y sirven como zonas de recreación y actividades económicas como la pesca y el turismo (Barbier et al., 2011).

El litoral peruano es uno de los más ricos del mundo, debido fundamentalmente, a procesos de surgencias, que traen consigo una alta carga de fosfatos, silicatos y nitratos, el transporte de las corrientes marinas y los procesos biogeoquímicos de la zona eufótica (Graco et al., 2007). La bahía de Sechura es un ecosistema con alta productividad fitoplanctónica debido a que se encuentra frente a zonas de surgencias, que a su vez generan alta productividad de zooplancton e ictioplancton (OEFA, 2017).

Los principales factores que favorecen la aparición de FA son, los cambios estacionales, la disponibilidad de luz (Escribano y Castro, 2005), la temperatura (Higuera y Ortiz, 2007) y los nutrientes (Sellner et al., 2003).

Cuando las FA se originan cerca a las costas, el rol de los nutrientes antropogénicos suele ser determinante para su desarrollo (Anderson et al., 2008). En Sechura se realiza el cultivo de maíz, algodón y arroz, en las inmediaciones de estas áreas y se han construido

drenes que recogen excedentes de nutrientes, para luego descargarlos en la bahía. Además, existen otras fuentes que también contribuyen con la eutrofización de la bahía, por ejemplo, las plantas de harina de pescado, la planta de concentración de fosfatos y los efluentes domésticos de centros poblados aledaños (Albañil, 2013).

La maricultura en general es una fuente de nutrientes para el desarrollo del fitoplancton (Anderson, 2014); por ejemplo, el cultivo de moluscos en altas densidades es un tema de preocupación, debido a que su baja tasa de asimilación convierte los nutrientes de la biomasa fitoplanctónica en material disuelto y particulado (Anderson, 2014), que culminan, por actividad bacteriana, en la producción de NH<sub>4</sub>, NO<sub>3</sub> y PO<sub>4</sub>, alentando la producción de FA.

En la bahía de Sechura los recursos de extracción pesquera más importantes son, la anchoveta *Engraulis ringens* (representa la mayor parte), la pota *Dosidicus gigas*, concha de abanico *Argopecten purpuratus*, calamar común *Loligo gahi*, samasa *Anchoa nasus*, anguila *Ophichthus remiger*, lisa *Mugil cephalus* (IMARPE, 2007), especies que pueden verse perjudicadas (en mayor o menor intensidad) por la aparición de FA, por lo tanto afectar la extracción de estos recursos, con grandes pérdidas económicas para el país o para la población que depende de esta actividad.

Si los organismos productores de FA no son consumidos, sedimentan y generan altos niveles de amonio por fermentación (Reguera, 2002). Esto acumula materia orgánica en el fondo, favoreciendo el crecimiento bacteriano, reduciendo el oxígeno y aumentando la demanda biológica del mismo. Además, altera los ciclos de nutrientes, incrementa el nitrógeno (N) y fósforo (P) en la columna de agua, y eleva la producción de metano e hidrógeno sulfhídrico (Buschmann, 2001). En la bahía de Sechura, esto afecta el cultivo de *A. purpuratus*, especialmente en fondo (corrales), el más extendido (INFOMAR, 2010).

En el 2019 el departamento de Piura se cosecharon un total de 47 909 t de recursos provenientes de la acuicultura, que representó el 29.71 % de la producción nacional, siendo el 95.98 % proveniente de la acuicultura marina, y de ésta el 87.38 % pertenece a la producción de *A. purpuratus* (PRODUCE, 2020).

En el año 2022, en la bahía de Sechura se han registrado más de 400 organizaciones de pescadores artesanales (PRODUCE, 2022) que se verían afectadas, al continuar incrementándose la frecuencia e intensidad de las FA, además se generarían también impactos negativos en la biodiversidad, la extracción pesquera, acuicultura y otras actividades.

La bahía de Sechura es una de las más importantes de la costa norte peruana, ya que cuenta con una gran productividad y biodiversidad marina. En este lugar se realizan con gran éxito, actividades como la pesca y maricultura, destacando sobre todo el cultivo de *A. purpuratus*; lo que significa una fuerte inversión, por ello el estudio de los factores condicionantes de la dinámica de las FA es de gran importancia, debido a que la proliferación de algunas especies representa un peligro para la pesquería, la maricultura, la salud pública y el turismo; por lo tanto se podrían generar grandes pérdidas socioeconómicas e impactos ambientales negativos con relación a la maricultura, con repercusiones en la actividad económica del país, por sus niveles de producción, puestos

de trabajo e ingresos de divisas para el estado. El incremento de la frecuencia e intensidad de las FA puede eventualmente significar el colapso de esta actividad.

Las FA pueden afectar la acuicultura intensiva y de fondo, ocasionando problemas en las inversiones económicas con repercusión social. En la bahía de Sechura se observa la aparición de FA con cierta frecuencia que afectan la biodiversidad, extracción pesquera y la acuicultura, sin embargo, no se cuenta con estudios que permitan una gestión adecuada de esta bahía, por ello, es necesario generar información sobre el tema.

El conocimiento de las FA en la bahía de Sechura es importante para la gestión ordenada de la acuicultura intensiva de fondo, la infraestructura existente no está debidamente sistematizada de tal manera que permita prever los eventos, sus intensidades y efectos negativos.

Los resultados de esta investigación podrán ser muy útiles a las autoridades competentes del sector pesquero y acuicultura, maricultores, investigadores, universidades o cualquier persona en general, interesadas en la dinámica de las FA, para así establecer estrategias de monitoreo que prevengan o minimicen los daños ocasionados por estos fenómenos, establecer las densidades de carga de la maricultura, el ordenamiento de las concesiones, etc.

#### Formulación del Problema

¿Cuáles fueron los factores condicionantes en la dinámica de las floraciones del fitoplancton en la bahía de Sechura (Piura, Perú), en el periodo mayo 2021 – noviembre 2022?

#### **Objetivo General**

Determinar la correlación entre los factores ambientales y la dinámica de las floraciones de fitoplancton en la bahía de Sechura en el periodo mayo 2021 – noviembre 2022, a fin de establecer los factores que modulan la aparición y permanencia de las FA.

#### **Objetivos específicos**

Determinar el comportamiento del fitoplancton, en función a su densidad, en la bahía de Sechura en el periodo mayo 2021 – noviembre 2022.

Determinar el comportamiento de los factores ambientales, como la transparencia, oxígeno, temperatura, salinidad y pH en el periodo mayo 2021 – noviembre 2022.

Describir la dinámica de las floraciones de fitoplancton en la bahía de Sechura en relación con los factores condicionantes en el periodo mayo 2021 – noviembre 2022.

#### II. MARCO TEÓRICO

El fitoplancton está conformado por una gran diversidad de organismos autótrofos microscópicos cuyo tamaño varía desde < 1µm a 100 µm (Escribano y Castro, 2005), es componente esencial de la vida acuática, en tanto es el primer eslabón de la cadena alimenticia en los ecosistemas acuáticos (Sastre et al.,2019).

Las floraciones algales nocivas (FAN, en inglés HAB, Harmful Algal blooms), es un término acuñado por la Comisión Oceanográfica Intergubernamental (COI) de la Unesco y hace referencia a cualquier crecimiento de microalgas que causa algún daño al medio ambiente, la acuicultura, las actividades recreativas y la salud pública (Reguera et

al., 2008). Se considera que existe una FA cuando las concentraciones de fitoplancton son de más de un millón de células por litro (Arteaga y Perdomo, 2016).

Algunas especies que generan FA son toxigénicas y pueden causar enfermedades o incluso la muerte de otros organismos al transferir toxinas a través de la cadena trófica; a este fenómeno se le conoce como FA tóxicas (Anderson et al., 2012). Por otro lado, también existen FA no tóxicas, que, aunque no producen toxinas, pueden afectar negativamente a otras especies al obstruir sus branquias o al acumularse en el fondo marino, lo que provoca un agotamiento del oxígeno en la columna de agua (Arteaga y Perdomo, 2016).

Las FA aparecen de forma natural en zonas de surgencias, costas y estuarios donde la combinación de factores físicos y disponibilidad de nutrientes propician el crecimiento de fitoplancton (Arteaga y Perdomo, 2016).

La actividad antropogénica, acuicultura, aportes del sector agropecuario e industrial, dragados, transporte de lastres en barcos o demás actividades en puerto, pueden influir en la composición del fitoplancton y propiciar la aparición y desarrollo de especies oportunistas, incluso incrementar la intensidad o duración de las FA (Reguera, 2002).

En el mundo se han realizado varios estudios sobre FA, por ejemplo, en las costas de Angola, el aporte de nutrientes por parte de los ríos y la aparición de El Niño, influyen en la proliferación del fitoplancton, sobre todo de diatomeas (Silva et al., 2018).

En el periodo octubre-noviembre del 2009 se registró una floración de *Akashiwo sanguínea* en la costa central de Oregón, estuvo asociada con la estratificación del agua, incremento de nutrientes y un evento de afloramiento, además precedió a unas floraciones de diatomeas dadas en el mes de septiembre (Du et al., 2011).

Hernández et al. (2001) demostró, en un estudio realizado en el sur de la corriente de California, que concentraciones de fitoplancton presentaron valores mínimos en invierno, incremento en primavera, máximos en verano y disminución en otoño.

Según Higuera y Ortiz (2007), en el océano colombiano, cuando la temperatura superficial del mar (TSM) es muy alta (30,1 °C), debido a El Niño, la cantidad de diatomeas disminuye en comparación con otros años, mientras que el número de dinoflagelados incrementa, ya que algunas especies de este grupo se desarrollan mejor en temperaturas altas.

En el verano del 2020 en el Perú, se registraron 20 eventos FAN de corta duración e inocuas para los organismos marinos, 10 menos que las encontradas en el verano del 2017; aunque en ambos casos los dinoflagelados fueron causantes del 88% de ellos (IMARPE, 2020).

En la tabla 1 se presenta un resumen de las principales FA ocurridas en Perú indicando las especies responsables y sus factores desencadenantes.

**Tabla 1.** *Reportes de floraciones algales en el ecosistema marino peruano.* 

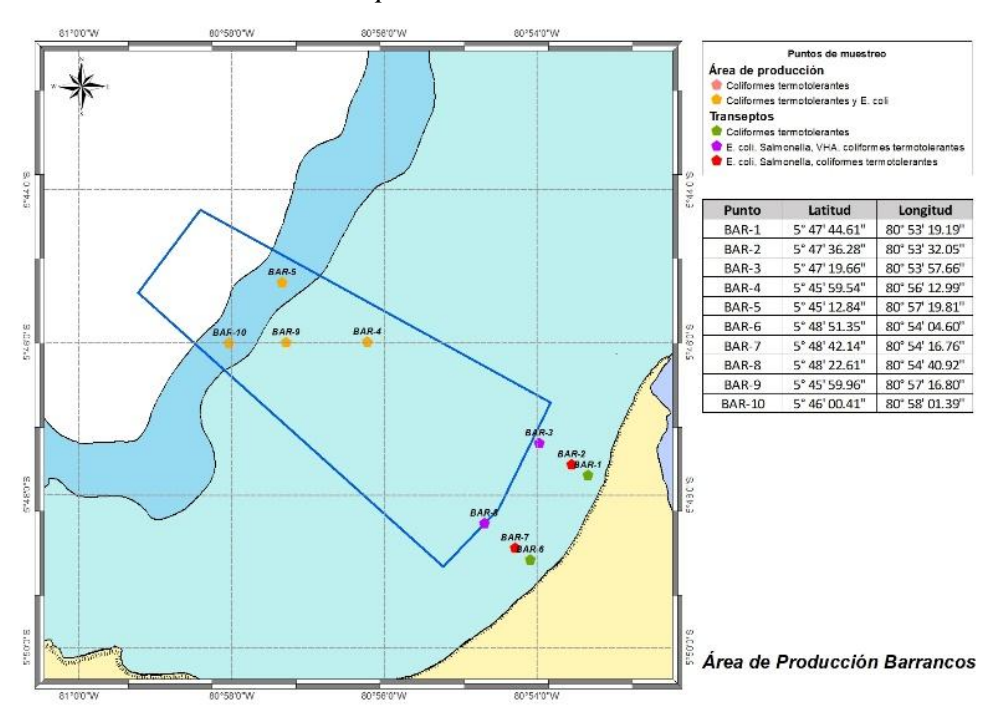
<b>Ecosistema</b>	Periodo	Especies	<b>Factores</b>	<b>Fuente</b>
Bahía de Paracas	22 mayo y 2 de junio del 2000	Prorocentrum micans	Incremento de temperatura, efluentes domésticos	Cabello et al. (2002).
Bahía de Sechura	febrero 2010 - mayo 2014	Pseudo-nitzschia seriata y Protoperidinium depressum	Afloramientos	Orozco et al. (2017).
Bahía de Pisco	febrero 2010 - mayo 2014	Akashiwo sanguínea, Messodinium rubrum y Prorocentrum minimun	Afloramientos	Orozco et al. (2017).
Bahía de Paita	febrero 2022	Akashiwo sanguínea	Brillo solar intenso, cielo descubierto, vientos.	IMARPE (2022).
Bahía de Paita	19 de febrero del 2015	Ceratium fusus v. fusus	Incremento de temperatura	Sánchez et al. (2015).
Bahía de Sechura	28 de febrero del 2015	Akashiwo sanguínea	Incremento de temperatura	Sánchez et al. (2015).
Playa pescadores (Chorrillos)	Abril/diciembre 2016	Akashiwo sanguínea / H. akashiwo, P. minimun, D. fibula	Incremento de temperatura	Baylón (2019).

#### III. MATERIALES Y MÉTODOS

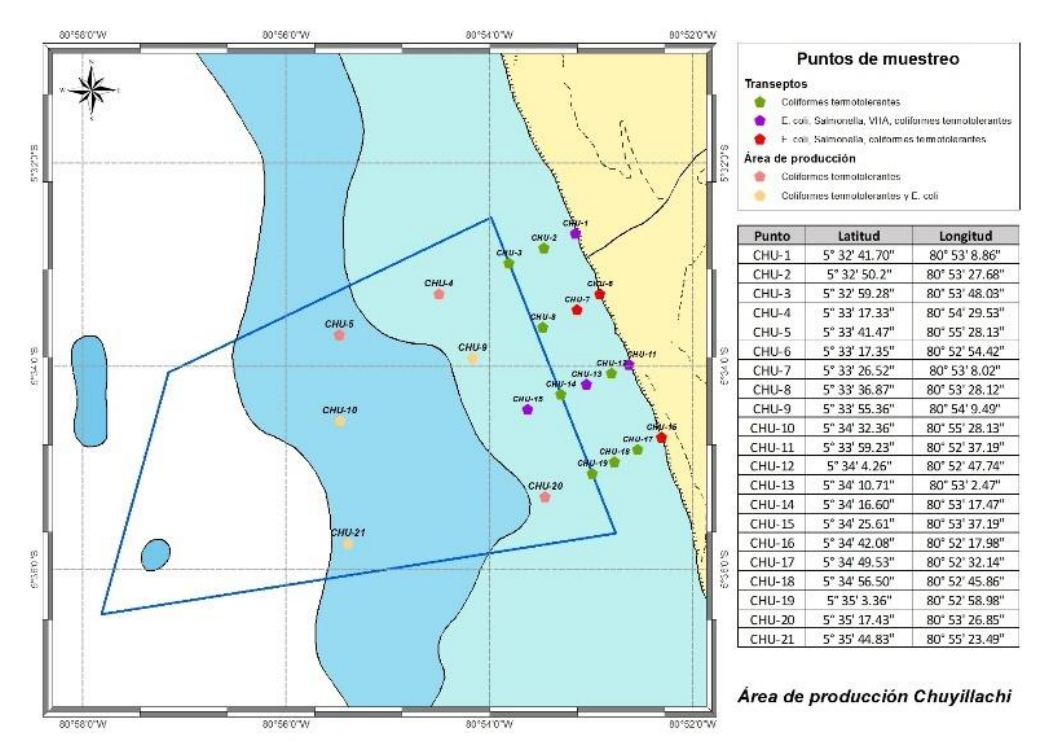
#### Población y muestra

Datos de muestreo referidos a la densidad de fitoplancton, transparencia, temperatura, salinidad, pH y oxígeno de la bahía de Sechura que fueron proporcionados por el Organismo Nacional de Sanidad Pesquera (SANIPES), obtenidos durante el periodo mayo 2021– noviembre 2022 en las estaciones de Barrancos, Chulliyachi, Constante, Las Delicias, Matacaballo, Parachique, Puerto Rico, San Pedro y Vichayo.

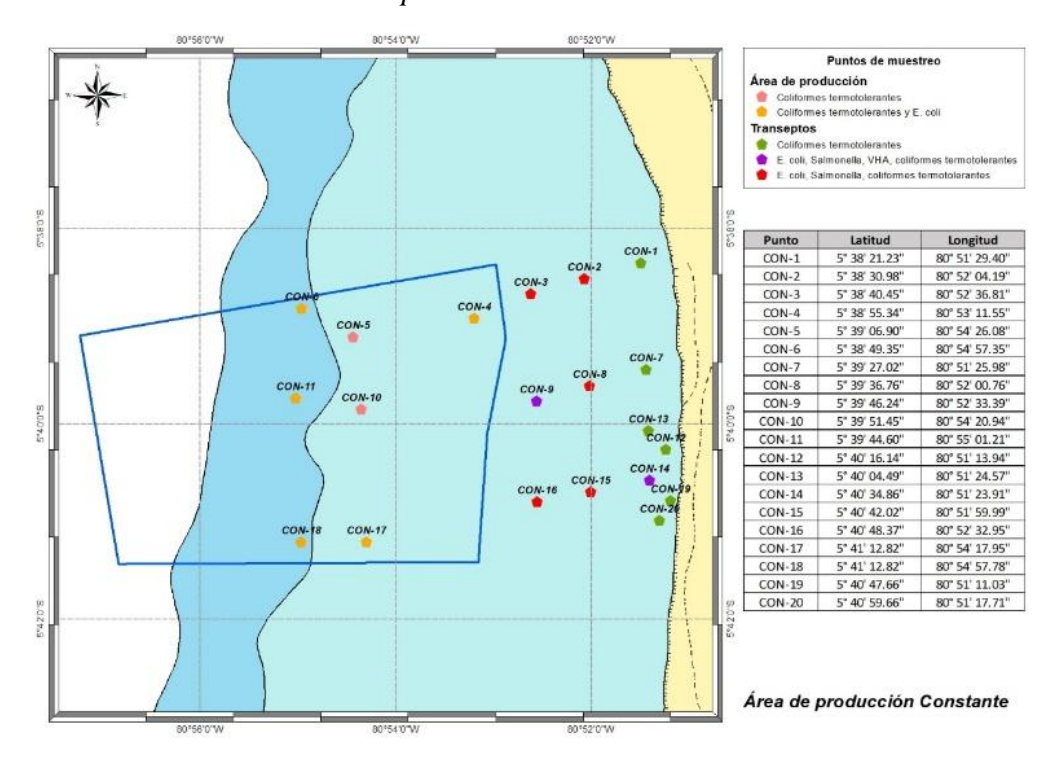
**Figura 1.**Puntos de muestreo en el área de producción de Barrancos.



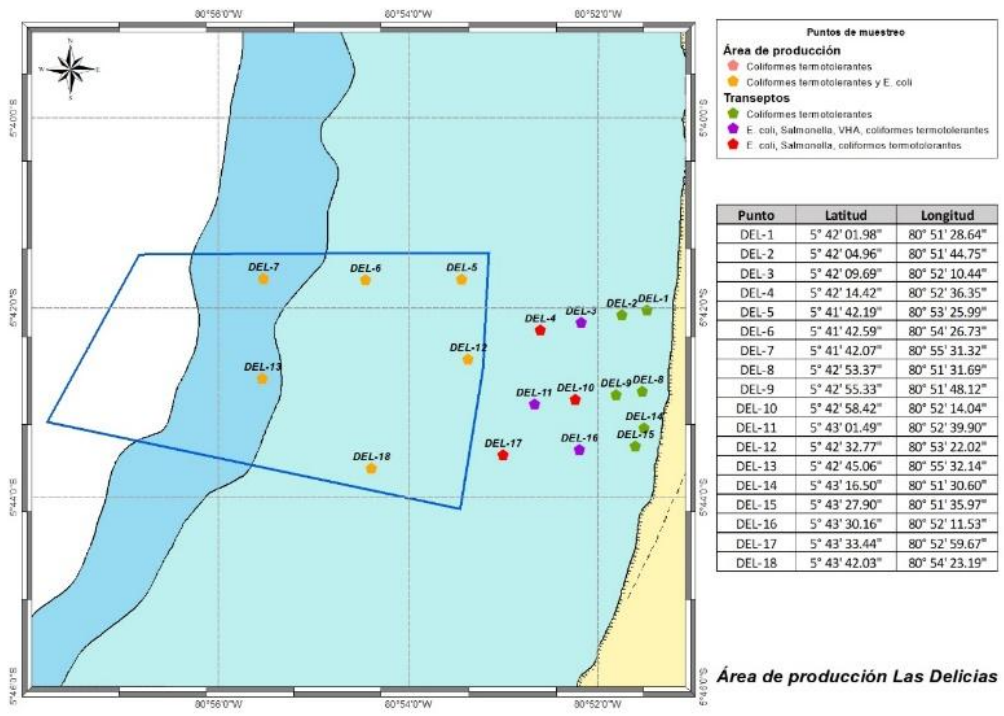
**Figura 2.**Puntos de muestreo en el área de producción de Chulliyachi.



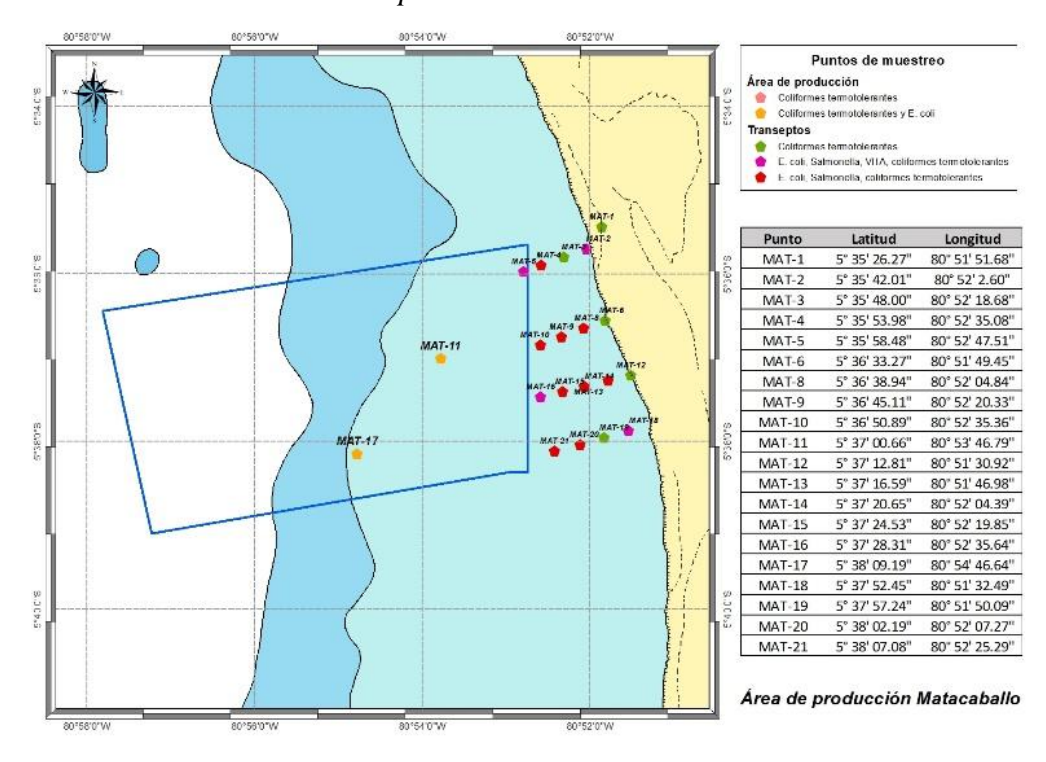
**Figura 3.**Puntos de muestreo en el área de producción de Constante.



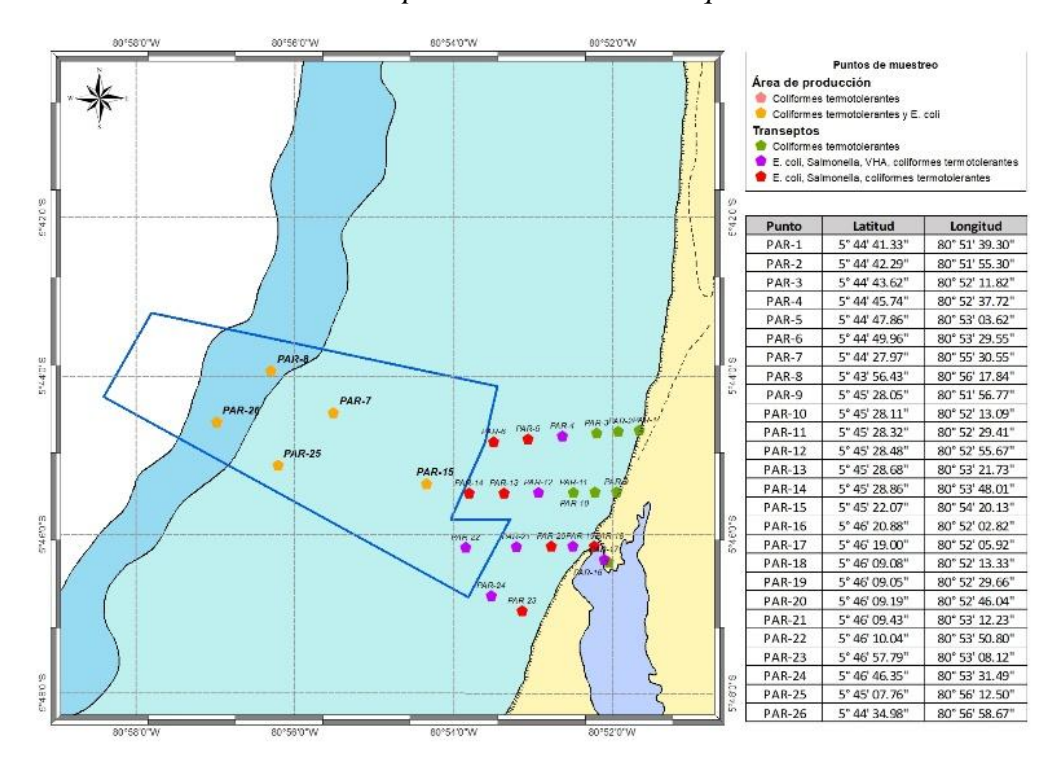
**Figura 4.**Puntos de muestreo en el área de producción de Las Delicias.



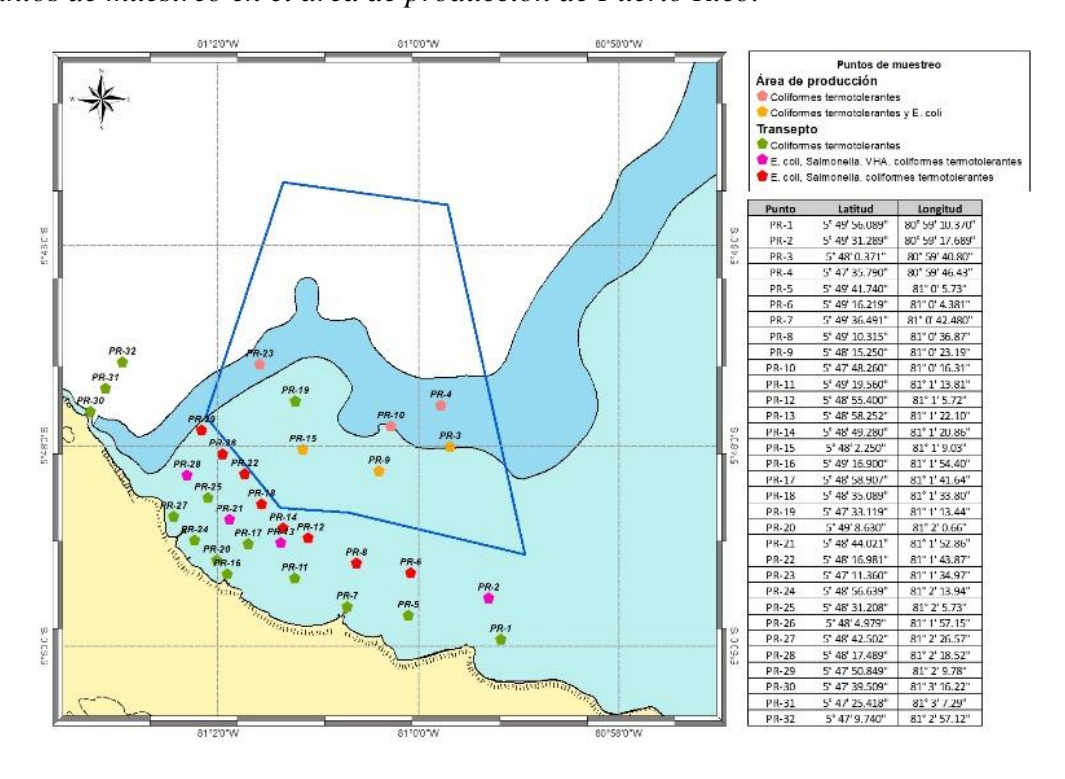
**Figura 5.**Puntos de muestreo en el área de producción de Matacaballo.



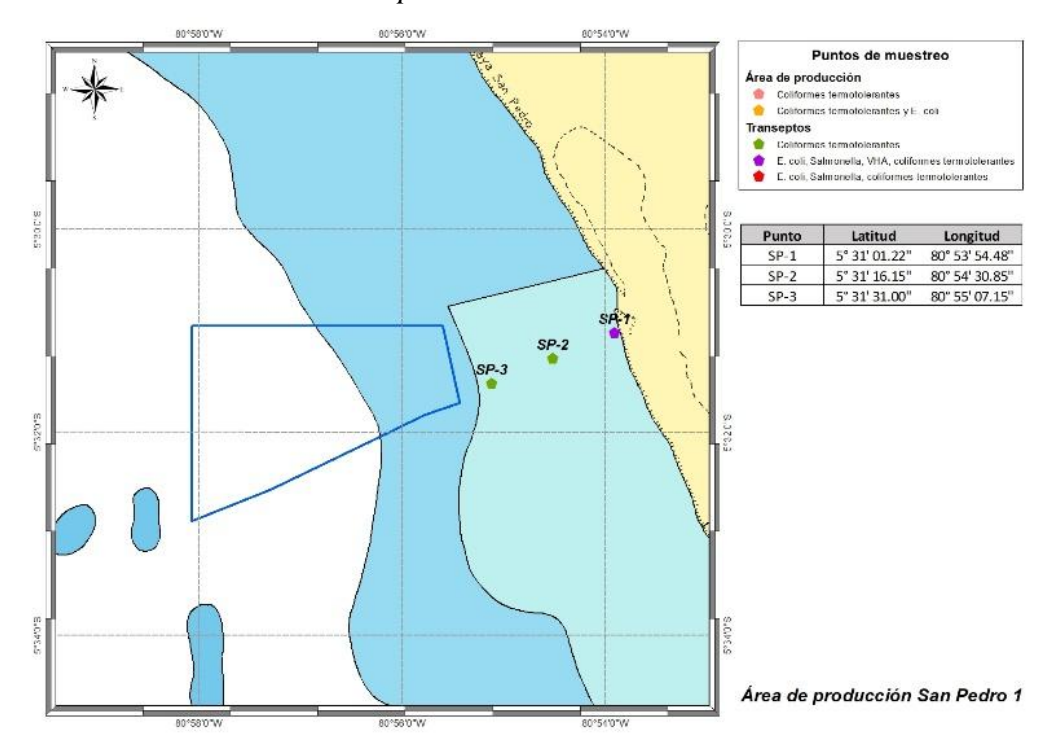
**Figura 6.**Puntos de muestreo en el área de producción de Parachique.



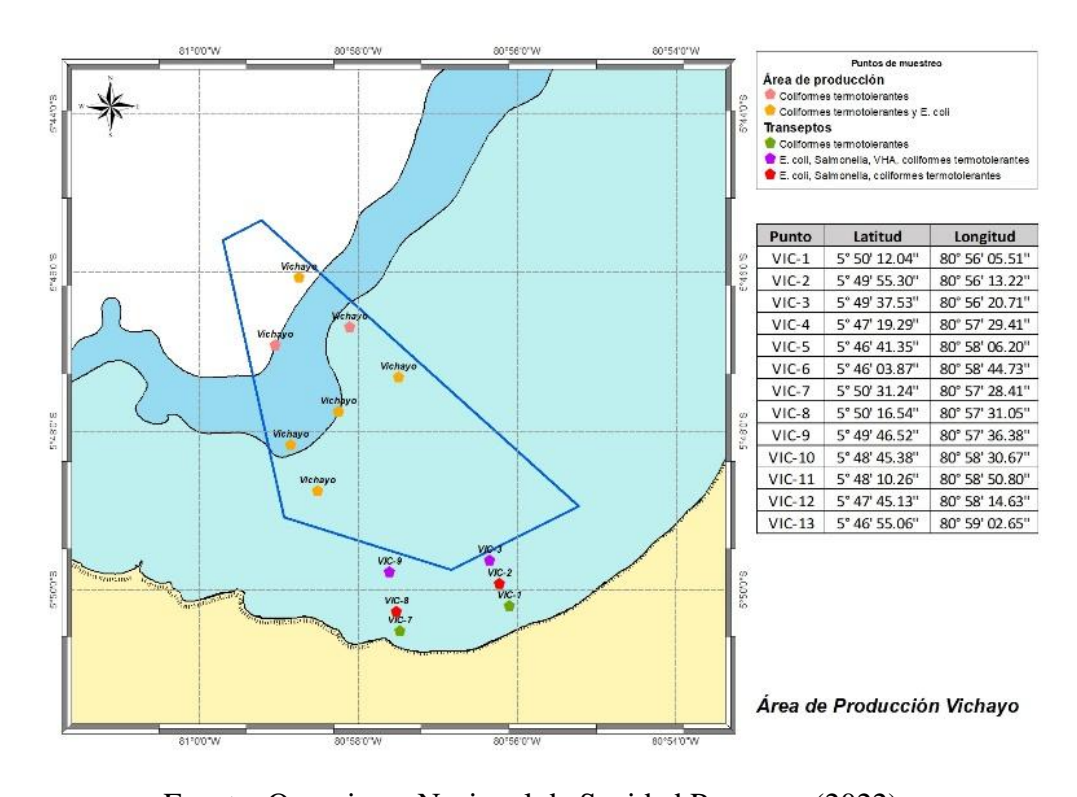
**Figura 7.**Puntos de muestreo en el área de producción de Puerto Rico.



**Figura 8.**Puntos de muestreo en el área de producción de San Pedro.



**Figura 9.**Puntos de muestreo en el área de producción de Vichayo.



#### Análisis estadístico

Para el procesamiento de los datos se consideró como FA cuando la densidad del fitoplancton fue mayor a más de un millón de células por litro (Arteaga y Perdomo, 2016). Se tomó en cuenta aquellas fechas de muestreo en las que los datos recolectados estaban completos (en algunas fechas no hubo datos de muestreo), por ello se consideraron solo los datos de los estratos superiores ya que estos se registraron casi en su totalidad.

Los datos fueron procesados en hojas de cálculo Excel. Para evaluar la correlación de los factores condicionantes con la dinámica de las floraciones de fitoplancton, se aplicó el coeficiente de correlación de Spearman y se utilizó el software IBM SPSS Statistics 21.

Se consideró que existe correlación cuando el coeficiente "r" mostró una relación alta, sea positiva o negativa.

**Tabla 2.** *Grado de relación según coeficiente de correlación.* 

Rango	Relación
-0.91 a -1	Negativa perfecta
-0.76 a -0.90	Negativa muy alta
-0.51 a -0.75	Negativa alta
-0.26 a -0.50	Negativa media
-0.11 a -0.25	Negativa baja
-0.01 a -0.10	Muy baja
0	No existe correlación
0.01 a 0.10	Positiva muy baja
0.11 a 0.25	Positiva baja
0.26 a 0.50	Positiva media
0.52 a 0.75	Positiva alta
0.76 a 0.90	Positiva muy alta
0.91 a 1	Positiva perfecta

Fuente: Hernández. et al. (2014).

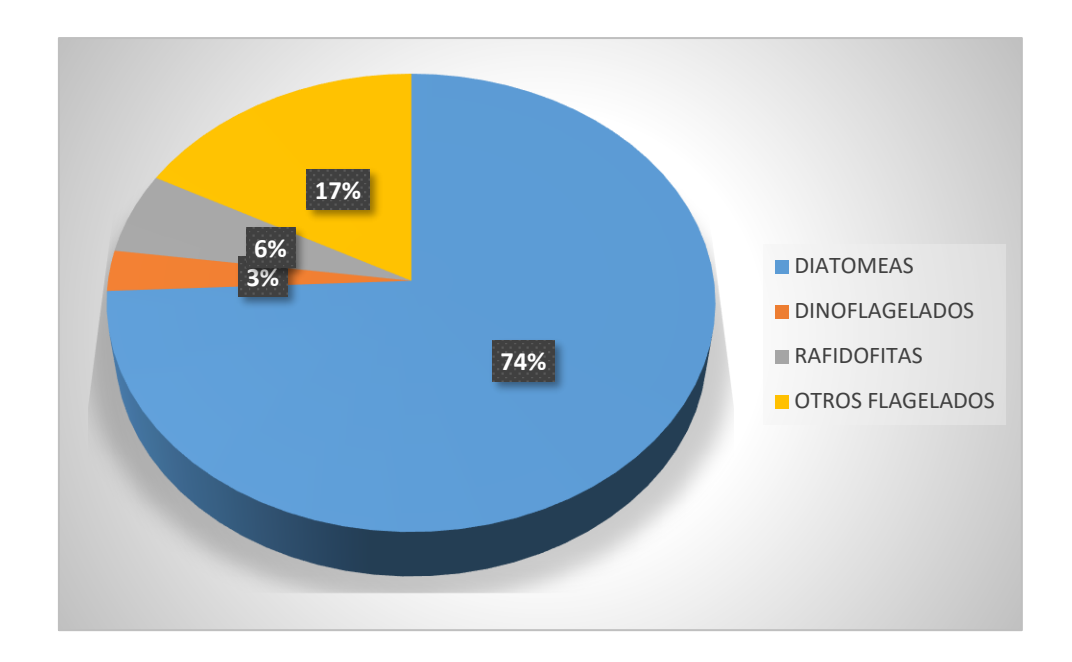
#### IV. RESULTADOS

#### 4.1. Variación espacial del fitoplancton en la bahía de Sechura.

Como resultado de la sumatoria de todas las FA presentadas en todas las áreas de producción se registraron 35, de las cuales, las diatomeas fueron el grupo más frecuente, con 26 casos (74%), seguido por otros flagelados con 6 casos (17%), las rafidofitas con 2 (6%) y, finalmente, los dinoflagelados con solo 1 caso (3%). (Figura 10).

Figura 10.

Porcentaje de cada uno de los grupos taxonómicos causantes de las FA.

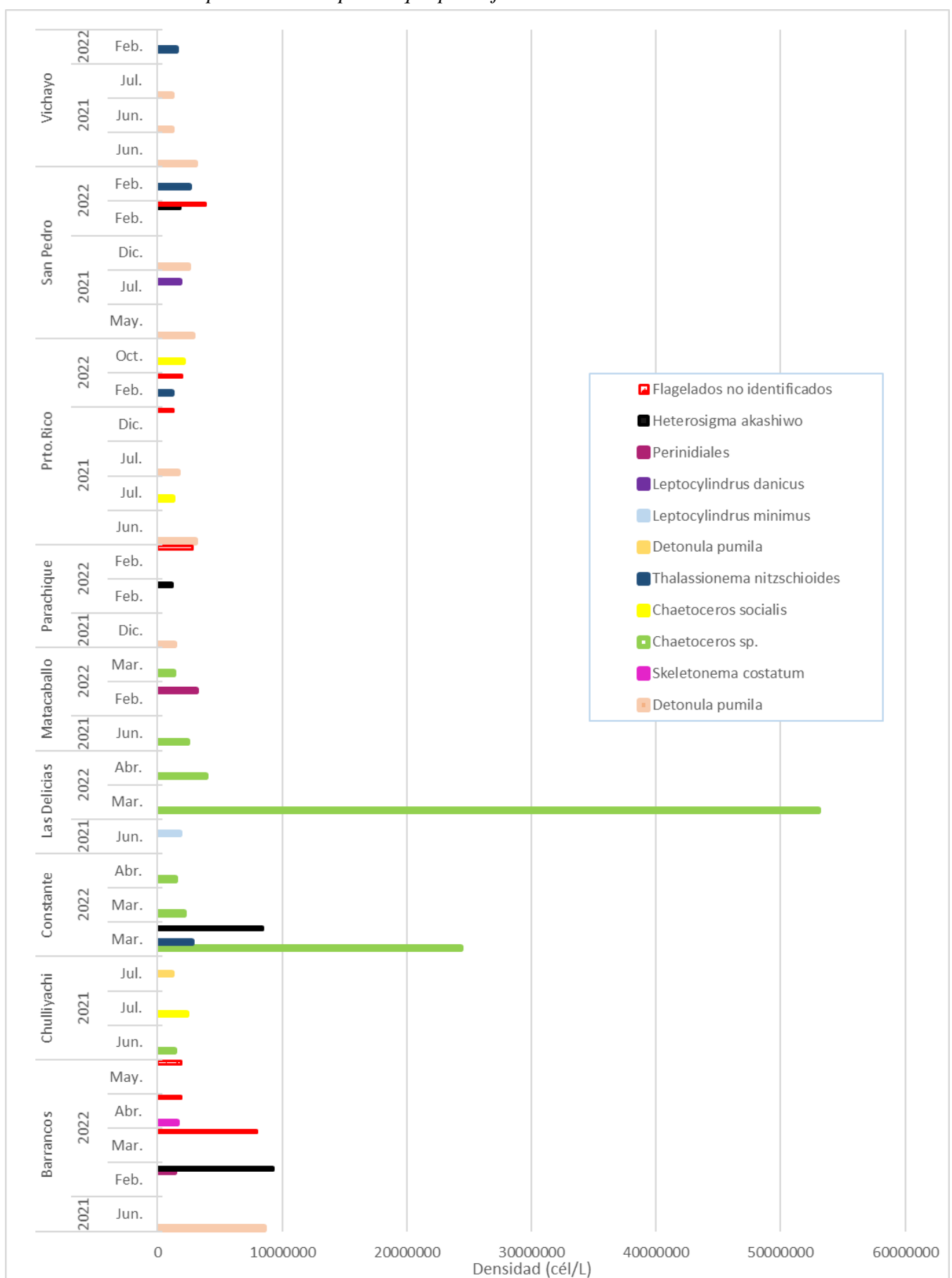


Las diatomeas fueron el grupo que alcanzó la floración con mayor densidad (53 x 10<sup>6</sup> cel/L), esta floración se presentó en el área de Las Delicias en marzo del 2022. Además, las estaciones de Barrancos y Puerto Rico presentaron el mayor número de floraciones (7) (figura 11).

**Tabla 3.**Especies causantes de las Floraciones algales en las nueve áreas de estudio en la bahía de Sechura periodo mayo 2021-noviembre 2022.

DIATOMEAS	DINOFLAGELADOS	RAFIDOFITAS	OTROS FLAGELADOS
Detonula pumila	Orden Peridiniales	Heterosigma akashiwo	Flagelados no identificados
Skeletonema costatum			
Chaetoceros sp			
Chaetoceros socialis			
Thalassionema			
nitzschioides			
Leptocylindrus danicus			

**Figura 11.** Variación temporal de las especies que produjeron FA en las nueve áreas de estudio.



#### 4.2. Variación temporal promedio de los factores ambientales

#### 4.2.1. Transparencia

El mayor valor de este parámetro (6.50 m) se encontró en la estación de Vichayo durante marzo y julio del 2022, mientras que el más bajo (1.25 m) se presentó tanto en Chulliyachi en mayo del 2022 como en Matacaballo en noviembre del 2022 (Tabla 4).

#### 4.2.2. Oxígeno Disuelto.

El valor promedio más alto (7.95 mg/L) se presentó en Las Delicias en julio del 2022 y el valor más bajo (1.79 mg/L) se presentó en Vichayo en octubre del 2022 (Tabla 4).

#### 4.2.3. Temperatura

El valor promedio más alto (22.60 °C) se presentó en Matacaballo en marzo del 2022, y el valor más bajo (14.75 °C) se presentó en Las Delicias en noviembre del 2022 (Tabla 4).

#### 4.2.4. Salinidad.

El valor promedio más alto (35.54 ppm) se presentó en Matacaballo en julio del 2022, el valor más bajo (32.28 ppm) se presentó en San Pedro, en noviembre del 2021 (Tabla 4).

#### 4.2.5. pH.

El valor promedio más alto (8.77) se presentó en Las Delicias en julio del 2022 y el valor promedio más bajo (7.77) se presentó en Vichayo en junio del 2022 (Tabla 4).

**Tabla 4.**Valor promedio (± desviación estándar) de los parámetros abióticos en las nueve áreas de estudio.

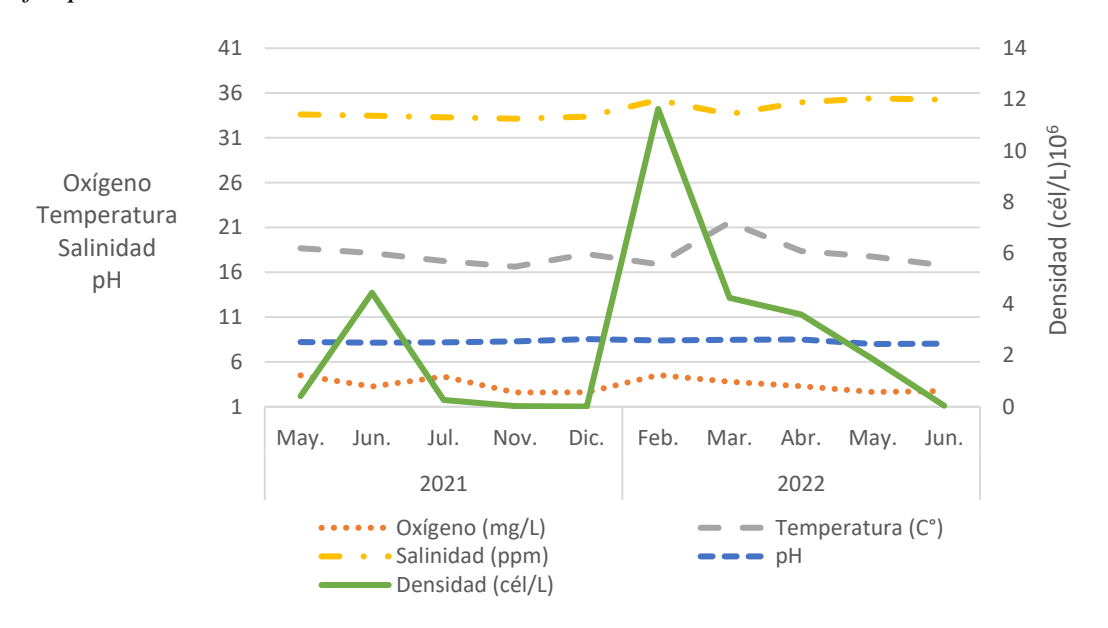
ÁREA	Año	Mes	TRANSPARENCIA (m)	OXÍGENO mg/L	TEMPERATURA (C°)	SALINIDAD ppm.	pН
		May.	3.00	4.52	18.70	33.62	8.23
		Jun.	3.33 ± 0.57	3.24 ± 0.96	18.14 1.12	33.47 ± 0.18	8.16 ± 0.11
	2021	Jul.	4.00	4.36	17.25	33.29	8.19
		Nov.	2.00	2.60	16.63	33.14	8.31
Barrancos		Dic.	3.50 ± 0.70	2.61 ± 0.12	18.05 0.71	33.37 ± 0.01	8.55
Barrancos		Feb.	1.50	4.54	16.91	35.21	8.40
		Mar.	1.75 ± 0.35	3.79 ± 1.8	21.59 ± 3.44	33.67 ± 1.97	8.49 ± 0.24
	2022	Abr.	3.00	3.30	18.35	34.98	8.50
		May.	2.00	2.65	17.75	35.41	8.00
		Jun.	3.67 ± 0.57	2.78 ± 0.04	16.75 ± 0.62	35.26 ± 0.44	8.05 ± 0.08
		May.	2.67	3.01	19.22	34.37	8.16
		Jun.	2.67	3.00 ± 0.09	18.91 ± 0.76	34.49 ± 0.12	8.16 ± 0.04
	2021	Jul.	3.25 ± 0.35	2.97 ± 0.12	19.81 ± 0.39	34.23 ± 0.14	8.20 ± 0.04
		Nov.	3.00	3.00	19.36	34.16	8.27
		Dic.	3.33 ± 0.47	3.01 ± 0.21	17.89 ± 1.55	33.81 ± 0.52	8.15 ± 0.01
		Feb.	1.65 ± 0.02	3.95 ± 0.17	19.83 ± 0.34	35.18 ± 0.02	8.45 ± 0.04
Charles and the	2022	Mar.	3.11 ± 2.50	5.53 ± 0.22	21.52 ± 2.66	33.14 ± 0.54	8.31 ± 0.03
Chulliyachi		Abr.	2.00	3.62	18.97	33.17	8.10
		May.	1.25 ± 0.11	6.46 ± 0.007	18.84 ± 1.13	34.96 ± 0.01	8.48 ± 0.04
		Jun.	4.56 ± 2.50	3.73 ± 0.76	16.80 ± 0.58	34.43 ± 0.67	8.17 ± 0.31
		Jul.	2.17 ± 1.76	3.21 ± 0.02	16.74 ± 0.42	35.46 ± 0.72	7.97 ± 0.02
		Sep.	2.33 ± 0.70	2.60 ± 0.72	16.09 ± 0.37	32.75	7.96
		Oct.	2.58 ± 0.11	2.08 ± 0.07	15.45 ± 0.52	33.04	7.89
		Nov.	1.50	2.56	16.13	33.06	7.93
		May.	3.00	2.82	21.50	34.60	7.96
		Jun.	3.33 ± 0.57	2.50 ± 0.28	20.40 ± 0.02	34.25 ± 0.05	8.24 ± 0.13
	2021	Jul.	3.50	3.06	20.09	34.13	8.16
		Nov.	4.00	3.26	17.77	33.31	8.51
		Dic.	3.50 ± 0.35	2.61 ± 0.62	18.05 ± 0.24	33.37 ± 0.88	8.55
		Feb.	3.00	3.24	18.30	33.26	8.31
		Mar.	1.40 ± 0.84	5.28 ± 0.19	21.31 ± 3.09	33.79 ± 2.22	8.34 ± 0.14
Constante		Abr.	8.50 ± 0.35	3.33 ± 0.17	18.27 ± 2.74	33.41 ± 0.08	7.91 ± 0.007
		May.	2.00	4.09 ± 2.53	18.70 ± 0.62	34.51 ± 0.85	8.25 ± 0.34
	2022	Jun.	2.00	5.15 ± 0.87	16.74 ± 1.05	35.18 ± 0.24	8.29 ± 0.21
		Jul.	5.50 ± 0.70	5.84 ± 2.84	17.64 ± 1.35	35.02 ± 0.41	8.56 ± 0.13
		Sep.	3	2.73 ± 1.16	16.44 ± 1.35	*	7.95 ± 0.04
		Oct.	3.5 ± 0.70	2.78 ± 0.45	15.23 ± 0.17	33.01 ± 0.16	7.96 ± 0.02
		Nov.	3	3.11	15.3	33.04	7.95

		Mary	3.00	3.00	19.45	33.55	8.24
	2021	May. Jun.	2.83 ± 0.28	2.97 ± 0.08	18.92 ± 0.67	35.00 ± 0.04	8.22 ± 0.09
		Jul.	2.75	2.25	19.55	34.63	8.10
		Nov.	5.00	3.45	18.60	34.45	8.47
		Dic.	3.25 ± 1.06	3.53 ± 0.75	16.86 ± 0.48	34.22 ± 1.20	8.05 ± 0.21
		Feb.	2.50	4.52	19.82	33.36	8.19
Las Delicias		Mar.	1.63 ± 0.53	5.16 ± 0.11	21.68 ± 3.53	33.83 ± 2.27	8.37 ± 0.17
		Abr.	4.00 ± 0.70	3.43 ± 0.25	18.22 ± 2.69	33.38 ± 0.01	7.90 ± 0.02
		May.	1.75 ± 0.35	3.86 ± 1.64	20.03 ± 1.47	34.40 ± 0.49	8.26 ± 0.29
	2022	Jun. Jul.	3.00	5.38 ± 1.42 7.95	17.59 ± 0.26 18.44	35.15 ± 0.23	8.35 ± 0.31 8.77
		Sep.	2.50 3.00	2.68 ± 0.02	16.45 ± 1.05	35.41 *	7.99 ± 0.02
		Oct.	2.63 ± 0.53	2.76 ± 0.05	15.10 ± 0.08	33.29 ± 0.08	7.87 ± 0.02
		Nov.	4.00	2.73	14.75	33.40	7.83
		May.	2.00	3.02	19.60	34.25	8.37
		Jun.	2.63 ± 0.88	3.33 ± 0.54	19.79 ± 0.10	34.40 ± 0.21	8.37 ± 0.19
	2021	Jul.	2.70 ± 1.69	2.44 ± 0.59	19.66 ± 0.60	34.22 ± 0.03	8.21 ± 0.11
		Nov.	2.50	2.45	19.37	34.21	8.15
-		Dic.	4.42 ± 0.52	3.23 ± 1.13	17.49 ± 1.39	33.26 ± 0.96	8.10 ± 0.12
		Feb.	2.53 ± 0.75	4.05 ± 0.12	19.61 ± 0.57	35.15 ± 0.17	8.33 ± 0.003
Matacaballo		Mar. Abr.	4.00 ± 2.82 2.50	5.31 ± 0.14 4.14	22.60 ± 2.25 20.06	33.56 ± 1.84 33.51	8.35 ± 0.12 8.07
		May.	2.38 ± 1.23	6.32 ± 0.21	19.43 ± 0.49	35.00 ± 0.14	8.52 ± 0.05
	2022	Jun.	4.33 ± 2.02	3.75 ± 0.21	16.99 ± 0.90	34.73 ± 0.66	8.22 ± 0.36
		Jul.	2.25	3.11	16.62	35.54	8.06
		Sep.	2.00 ± 0.35	2.70 ± 0.91	16.17 ± 0.47	33.03	7.98 ± 0.01
		Oct.	2.75	2.00 ± 0.31	15.46 ± 0.55	33.08 ± 0.03	7.90 ± 0.01
		Nov.	1.25	1.92	16.03	33.05	7.89
		May.	3.00	4.42	19.51	33.40	8.17
		Jun.	3.17 ± 0.14	3.41 ± 0.45	18.59 ± 0.28	33.43 ± 0.11	8.26 ± 0.04
	2021	Jul.	3.25	4.04	18.17	33.88	8.31
		Nov.	4.00	3.40 ± 0.53	16.73 ± 0.55	33.72 ± 0.14	8.28 ± 0.04
-		Dic. Feb.	2.00	3.56	16.21	34.17	8.10
Parachique		Abr.	2.50 ± 0.70	3.57 ± 0.32 2.08 ± 0.13	17.82 ± 0.83 19.06 ± 1.70	33.97 ± 0.80 34.78 ± 0.28	8.15 ± 0.11 8.20 ± 0.55
		May.	2.25 ± 0.35	2.42 ± 0.09	17.62 ± 0.30	35.45 ± 0.10	7.98 ± 0.02
	2022	Jun.	2.00	3.40	15.80	34.96	8.02
		Jul.	4.00	2.71	17.00	35.43	8.17
		Oct.	4.25	2.45	15.69	*	7.84
		Nov.	4	2.31	16.08	*	7.98
		May.	3.16	3.41	19.42	33.74	8.30
		Jun.	3.75 ± 0.58	3.19 ± 0.34	18.54 ± 0.21	33.44 ± 0.07	8.27 ± 0.03
	2021	Jul.	2.58 ± 0.35	3.92 ± 0.94	17.34 ± 0.08	33.58 ± 0.18	8.34 ± 0.14
		Nov. Dic.	2.33 4.56 ± 0.38	4.59 4.03 ± 0.43	15.24 17.16 ± 0.70	33.71 33.53 ± 0.05	8.44 8.51 ± 0.30
-		Feb.	3.42 ± 1.29	3.19 ± 0.08	18.34 ± 0.41	35.16 ± 0.33	8.43 ± 0.14
Puerto Rico		Mar.	3.83 ± 0.70	2.83 ± 1.76	20.48 ± 1.66	32.63 ± 0.67	8.07 ± 0.17
		Abr.	2.50 ± 2.12	3.95 ± 0.80	18.66 ± 1.88	34.68 ± 0.27	8.49 ± 0.02
	2022	May.	3.83 ± 0.23	3.42 ± 1.31	17.69 ± 1.22	33.67 ± 0.79	8.02 ± 0.31
	2022	Jun.	4.78 ± 0.78	2.89 ± 0.37	17.06 ± 0.72	35.27 ± 0.39	7.98 ± 0.12
		Sep.	5.00 ± 0.47	3.56 ± 1.18	16.76 ± 0.49	*	8.11 ± 0.09
		Oct.	4.83 ± 0.70	2.12 ± 0.44	16.05 ± 0.80	*	7.82 ± 0.14
		Nov.	3.67	2.29	16.07	*	7.94
		May.	2.50	3.37	19.47	33.10	8.27
	2021	Jun. Jul.	2.88 ± 0.53	3.06 ± 0.01	19.23 ± 0.16 19.35 ± 0.02	33.67 ± 0.66	8.33 ± 0.26 8.19 ± 0.08
	2021	Nov.	4.13 ± 0.53 3.50	3.50 ± 0.59 4.98	19.35 ± 0.02 15.55	33.86 ± 0.39 32.28	8.19 ± 0.08 8.32
		Dic.	4.33 ± 0.28	2.96 ± 0.13	17.95 ± 1.39	33.54 ± 0.52	8.13 ± 0.002
San Pedro		Feb.	2.75 ± 1.06	3.76 ± 0.35	18.34 ± 0.08	34.70 ± 0.56	8.28 ± 0.01
		May.	1.88 ± 0.88	2.71 ± 0.12	17.50 ± 1.57	32.44 ± 1.00	8.11 ± 0.40
	2022	Jun.	2.50 ± 0.70	3.57 ± 0.40	16.38 ± 0.86	33.85 ± 0.02	7.94 ± 0.04
	2022	Jul.	2.75 ± 1	2.86 ± 0.53	16.39 ± 0.44	34.91 ± 1.07	8.00 ± 0.06
		Sep.	1.25	3.3	15.7	*	7.89
		Nov.	2.5	2.35	15.81	32.995	7.925
		May.	5.00	3.40	20.65	33.42	8.01
	2024	Jun.	3.50 ± 0.53	3.52 ± 0.01	18.98 ± 0.16	33.32 ± 0.66	8.19 ± 0.26
	2021	Jul.	2.75 ± 0.35	4.12 ± 0.24	17.45 ± 0.14	33.32 ± 0.19	8.20 ± 0.13
		Nov. Dic.	4.25 ± 2.47 4.00	3.82 ± 0.67 3.25 ± 0.08	16.18 ± 0.14 17.08 ± 1.03	33.52 ± 0.09 33.33 ± 0.31	8.50 ± 0.29 8.39 ± 0.48
H		Feb.	4.00	3.25 ± 0.08 3.81	16.98	35.03	8.39 ± 0.48 8.48
Vichayo		Mar.	6.50 ± 0.70	2.02 ± 0.49	20.43 ± 4.90	33.64 ± 0.21	8.40 ± 0.58
,0		Abr.	4.00	4.54	18.12	34.81	8.56
	2022	May.	6.00	2.75	17.98	35.51	7.85
	2022	Jun.	5.67 ± 0.57	2.53 ± 0.20	16.31 ± 0.68	35.14 ± 0.22	7.77 ± 0.21
		Jul.	6.50 ± 0.70	3.56 ± 0.77	16.03 ± 1.18	35.14 ± 0.05	8.41 ± 0.04
		Sep. Oct.	5.50 ± 0.70 5.50 ± 0.70	2.40 ± 1.01 1.79 ± 0.44	15.94 15.00 ± 1.61	*	$7.90 \pm 0.01$ $7.82 \pm 0.23$

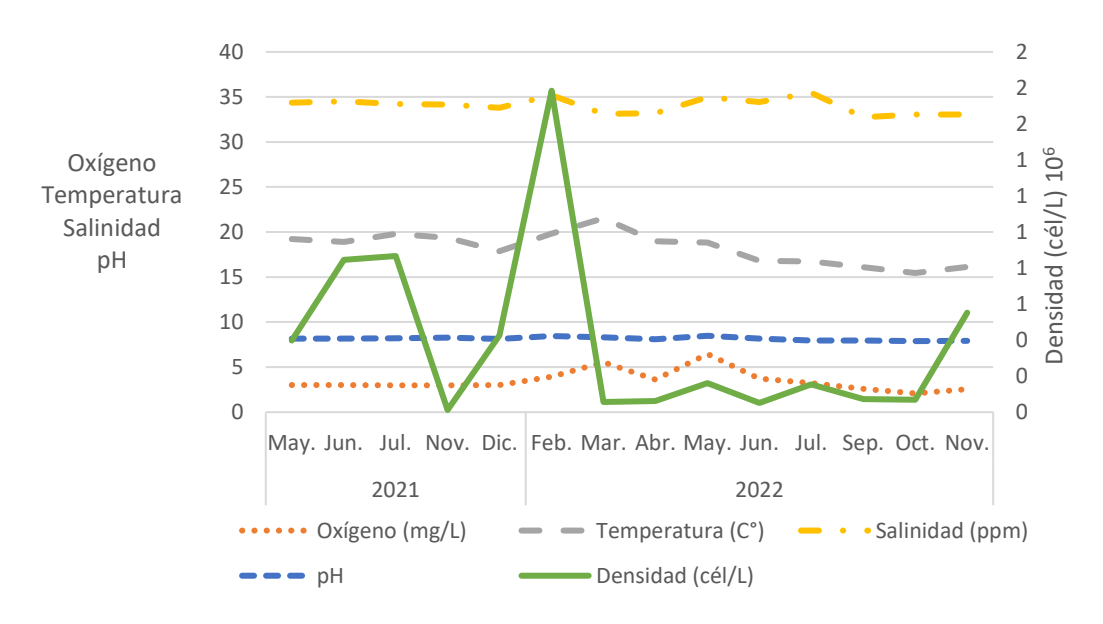
*Nota*. Valores más altos se resaltan con color amarillo y los más bajos con naranja. Las casillas con el símbolo \* se deben a que no se registraron datos en esa fecha.

# 4.3. Variación de los parámetros ambientales y la densidad algal total en las nueve áreas de estudio.

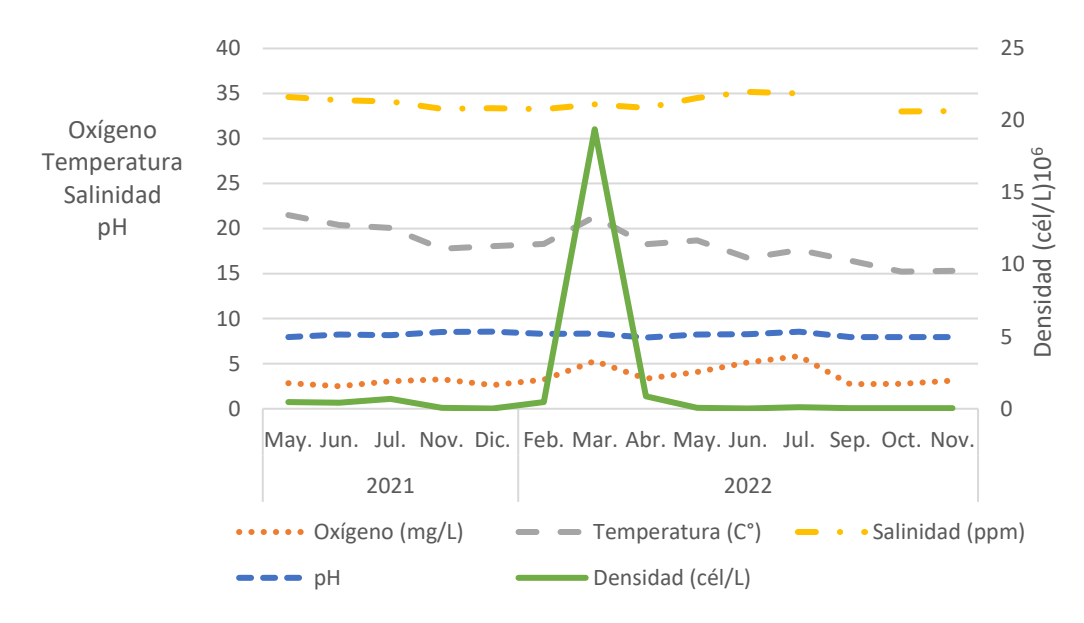
**Figura 12.**Variación temporal en valores medios de los parámetros y densidad total del fitoplancton en el área de Barrancos.



**Figura 13.**Variación temporal en valores medios de los parámetros y densidad total del fitoplancton en el área de Chulliyachi.

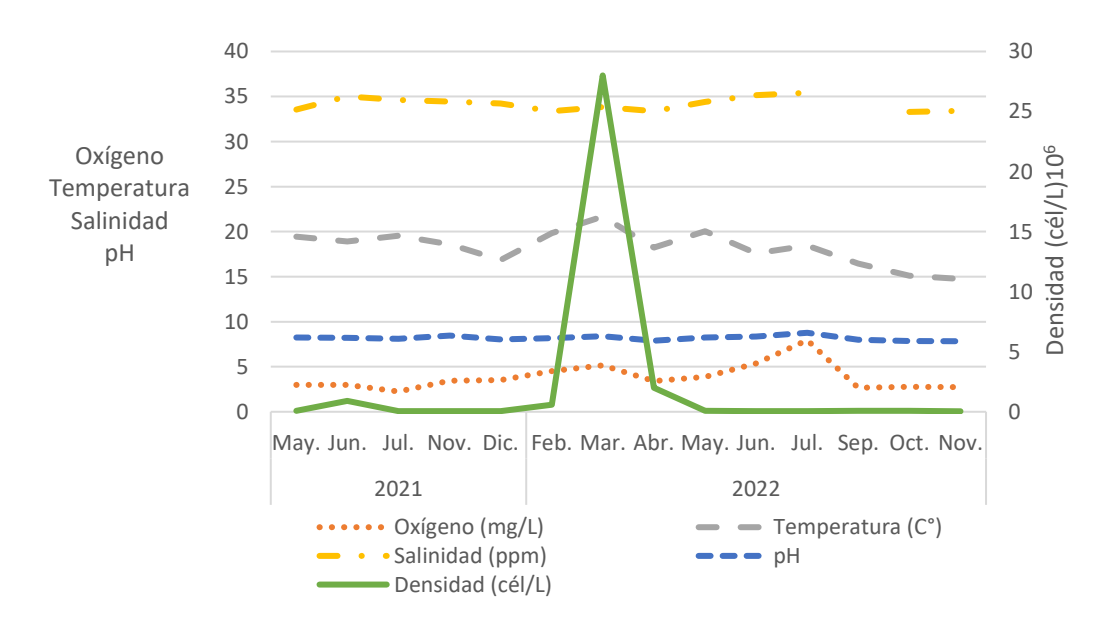


**Figura 14.**Variación temporal en valores medios de los parámetros y densidad total del fitoplancton en el área de Constante.



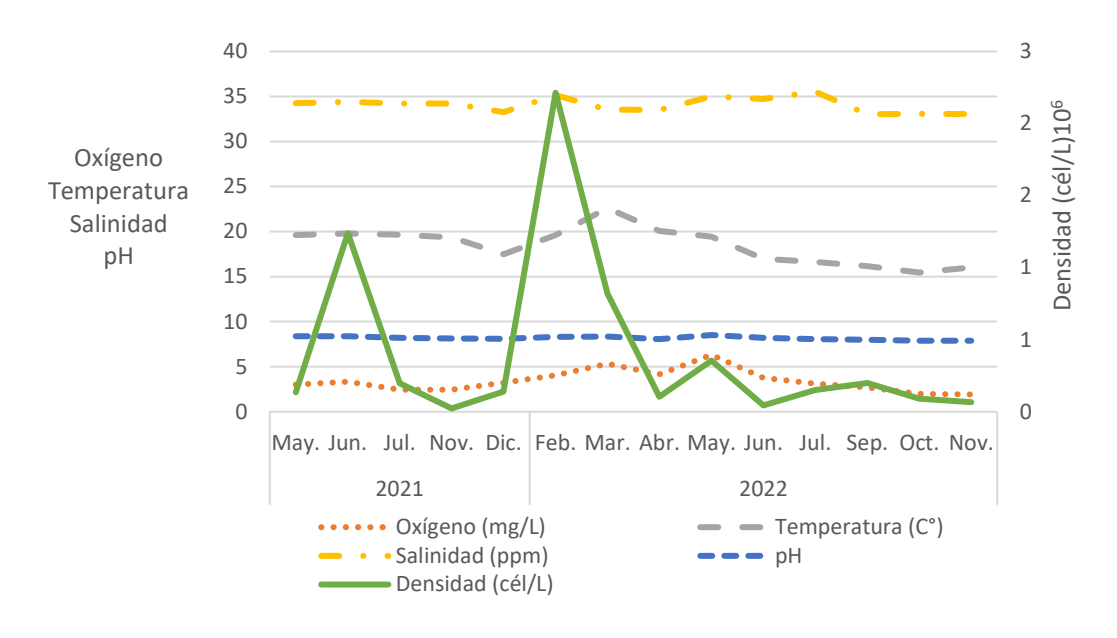
Nota. Los espacios en blanco del parámetro salinidad se debe a la ausencia de datos.

**Figura 15.**Variación temporal en valores medios de los parámetros y densidad total del fitoplancton en el área de Las delicias.

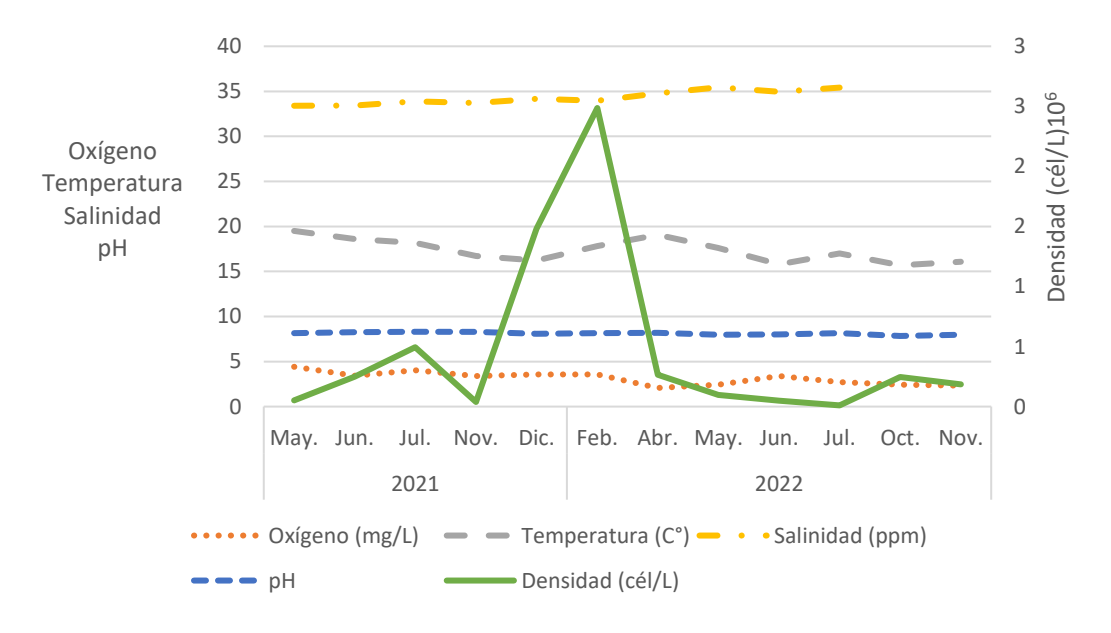


*Nota*. Los espacios en blanco del parámetro salinidad se debe a la ausencia de datos.

**Figura 16.**Variación temporal en valores medios de los parámetros y densidad total del fitoplancton en el área de Matacaballo.

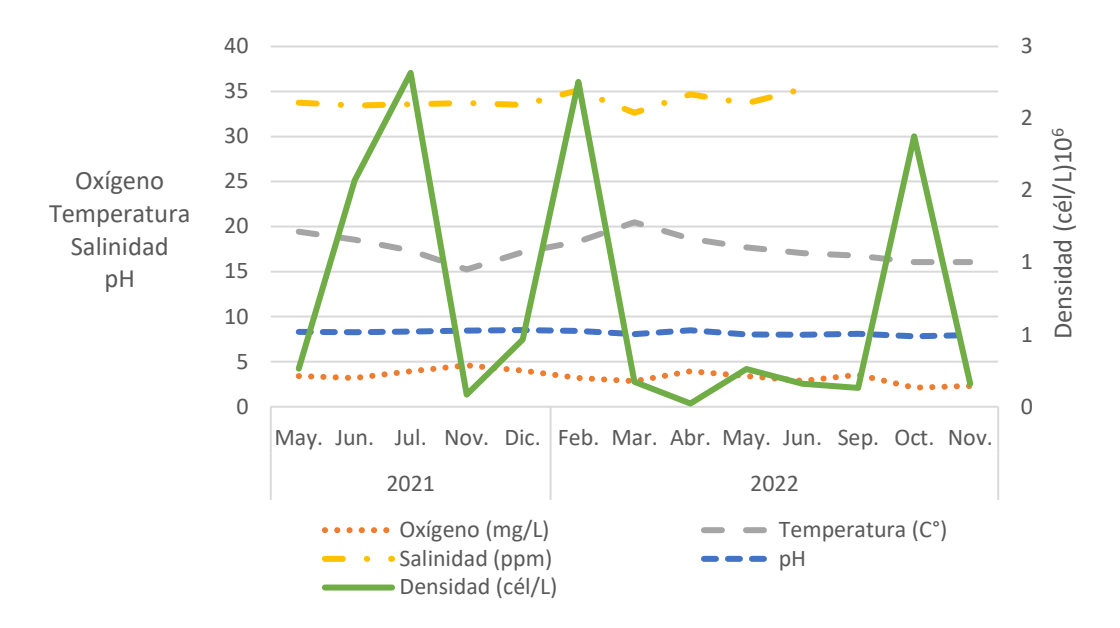


**Figura 17.**Variación temporal en valores medios de los parámetros y densidad total del fitoplancton en el área de Parachique.



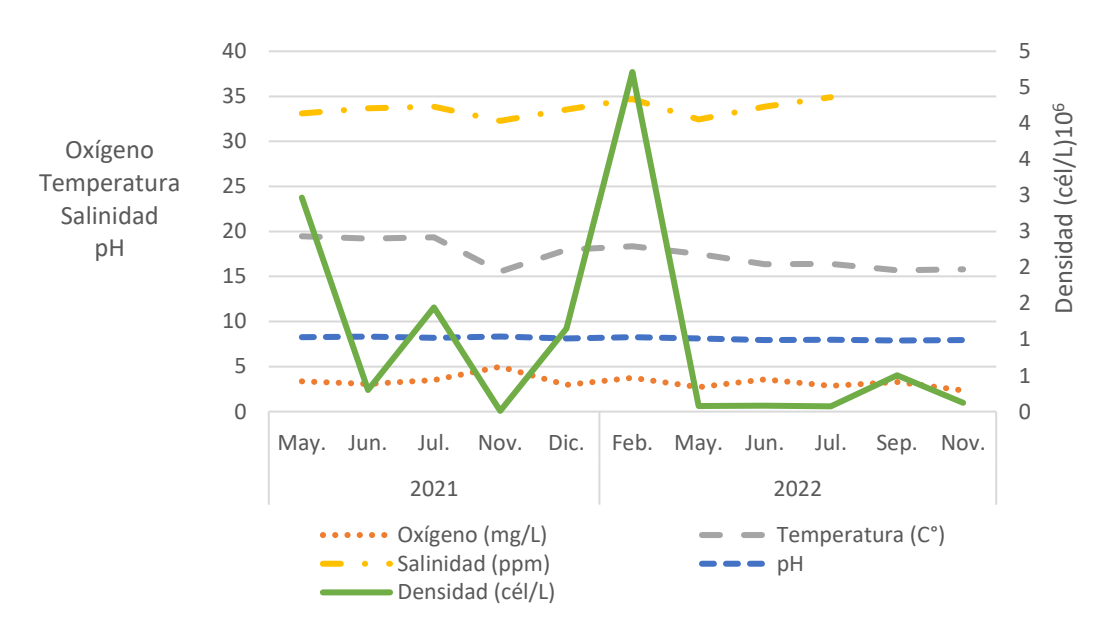
Nota. Los espacios en blanco del parámetro salinidad se deben a la ausencia de datos.

**Figura 18.**Variación temporal en valores medios de los parámetros y densidad total del fitoplancton en el área de Puerto Rico.



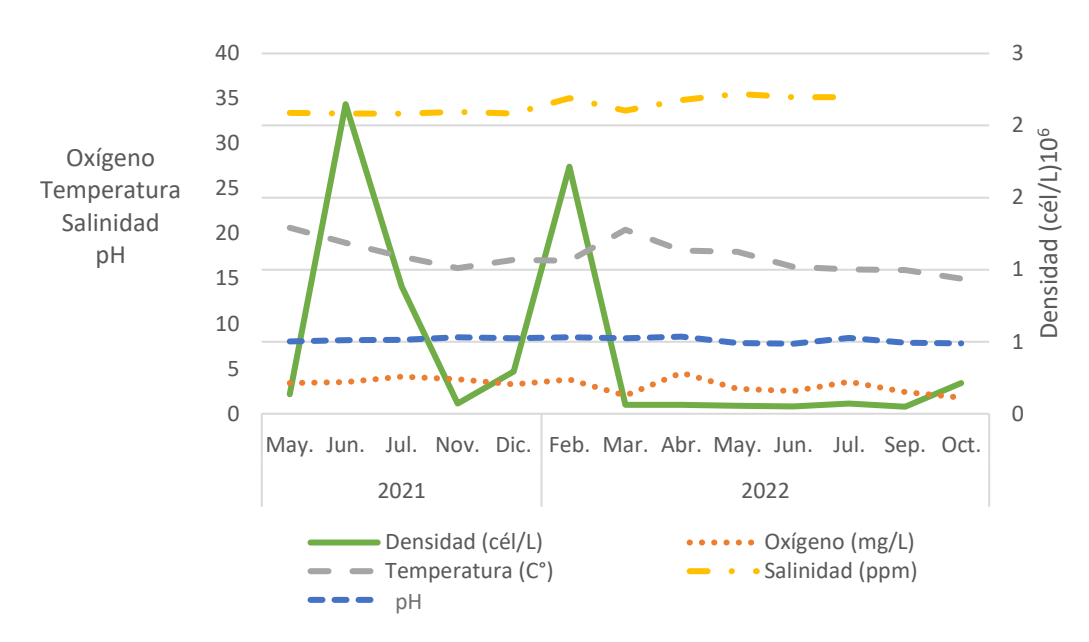
Nota. Los espacios en blanco del parámetro salinidad se deben a la ausencia de datos.

**Figura 19.**Variación temporal en valores medios de los parámetros y densidad total del fitoplancton en el área de San Pedro.



Nota. Los espacios en blanco del parámetro salinidad se debe a la ausencia de datos.

**Figura 20.**Variación temporal en valores medios de los parámetros y densidad total del fitoplancton en el área de Vichayo.



Nota. Los espacios en blanco del parámetro salinidad se debe a la ausencia de datos.

# 4.4. Correlación entre parámetros y la densidad de fitoplancton en las áreas de estudio.

Los valores de correlación (R) entre las especies y los factores abióticos, analizados por área de muestreo, se clasificaron en promedio como moderados. Sin embargo, se registraron correlaciones altas en casos específicos (Tabla 5):

Diatomeas y temperatura (+0.565) en Barrancos,

Dinoflagelados y pH (+0.634) en Chulliyachi,

Otros flagelados y temperatura (+0.603) en Constante.

Asimismo, se identificó una correlación negativa alta entre las diatomeas y la salinidad (-0.578) en Vichayo.

**Tabla 5.** Áreas predominantes de la correlación (Spearman) entre los parámetros y la densidad fitoplanctónica.

			Coef. de	
Área	División	Parámetros	correlación	Sig. (bilateral)
Barrancos	Diatomeas	Temperatura	+ 0.565	0.23
Chulliwashi	Dinoflagelados	Temperatura	+ 0.449	0.028
Chulliyachi	Dinorragerados	рН	+ 0.634	0.001
Constante	Diatomeas	Temperatura	+ 0.441	0.031
Constante	Otros flagelados	Temperatura	+ 0.603	0.002
Las Delicias	Diatomeas	Temperatura	+ 0.500	0.015
Matacaballo	Dinoflacelades	Oxígeno	+ 0.437	0.029
Matacabano	Dinoflagelados	Temperatura	+0.440	0.028
San Pedro	Diatomeas	Temperatura	+ 0.504	0.024
Viahaya	Diatomeas	Oxígeno	+ 0.488	0.018
Vichayo	Diatomeas	Salinidad	-0.578	0.01

#### V. DISCUSIÓN

El análisis cuantitativo de los muestreos en las 9 áreas de la bahía de Sechura permitió conocer el comportamiento, composición y predominancia de los grupos que produjeron las FA en el periodo mayo 2021-noviembre 2022. De los 35 eventos, 26 fueron causados por diatomeas, 6 por otros flagelados, 2 por radofitas y 1 por dinoflagelados, lo que representa el 74%, 17%, 6% y 3% respectivamente (Fig. 10). Estos resultados sugieren que las diatomeas serían las principales causantes de FA, posiblemente por ser el grupo que engloba el mayor número de especies en la bahía, tal como lo indica Albañil (2013). Similares resultados reportaron Baylón *et al.* (2019) en la playa pescadores de Chorrillos, las diatomeas dominaron en cantidad (59.2 %), seguido de dinoflagelados (35.8 %), También Jacobo *et al.* (2021) en la bahía de Miraflores, donde las diatomeas fueron el taxón dominante (55.6 %), seguido de los dinoflagelados (38.7 %), otros (5.7 %), ambos casos en Lima (Perú)

Los valores de temperatura en este estudio oscilaron entre 22.60 °C y 14.75 °C, el oxígeno entre 7.95 mg/L y 1.79 mg/L y la salinidad entre 35.54 ppm y 32.28 ppm (Tabla 4), resultados que están dentro de los rangos mencionados en el estudio de línea base de la bahía de Sechura (IMARPE, 2007), donde se registró valores de temperatura superficial que oscilaron entre 21.0 °C a 24.6 °C, oxígeno entre 2.37 mg/L y 9.66 mg/L, y la salinidad de 34.955 ups a 35.104 ups. La diferencia significativa fue en el valor mínimo de la temperatura, esto podría deberse a que nuestros datos corresponden a las 4 estaciones climáticas, mientras que los resultados de IMARPE corresponde solo a verano.

Ochoa *et al.* (2010), correlacionaron los cambios de la TSM con los diferentes taxones de fitoplancton, ya que en los afloramientos durante los periodos fríos (13-16 °C) dominaron las diatomeas, mientras que, en los periodos cálidos dominaron los dinoflagelados, en contraste con nuestros resultados, las diatomeas fueron el grupo dominante y se encontraron en casi todo el año, mientras que las rafidofitas (tercer grupo dominante en las FA) se presentaron en el periodo de verano.

De acuerdo con Martínez (2018), en Sechura, se registró el nivel más alto de temperatura del agua, en febrero del 2017 (23.27°C), lo que se relacionó con el aumento de concentración de la diatomea *Pseudonitzchia seriata* y *Pseudonitzchia delicatissima*. Lo mencionado anteriormente concuerda con los resultados de este trabajo, ya que los

picos más altos de temperatura se registraron en el verano en marzo (tabla 4) y las FA en ese periodo, también fueron dominadas por los diatomeas y dinoflagelados.

Baylón (2019) en la playa de pescadores en Chorrillos, registró floraciones de diatomeas (*Thalassionema nitzschioides*, *Skeletonema* costatum), diatomeas (Akashiwo *sanguinea*, *Prorocentrum gracile*, *P. balticum*, *P. minimum*, *Scrippsiella acuminata*) rafidofitas (*Heterosigma akashiwo*), silicoflagelados (*Dictyocha fibula*), criptofitas (*Leucocryptos marina*) y nanoflagelados (< 20 µm), estas alcanzaron densidades mayores a 100 x 10<sup>3</sup> cél/ L. De todas las especies mencionadas anteriormente, es coincidente con las floraciones de *Heterosigma akashiwo*, que fue dominante en febrero del 2022 en Barrancos y Parachique, mientras que, *Thalassionema nitzschioides* produjo una FA en el mismo periodo (figura 11).

En San Pedro y Vichayo se reportó la dominancia de *Heterosigma akashiwo* y *Thalassionema nitzschioides* en otoño y verano en mayo del 2021 y enero del 2022. Además, algunos dinoflagelados presentaron abundancia en verano, mientras que las diatomeas fueron abundantes en verano y otoño (figura 11).

Por otro lado, Martínez (2018) menciona que en la bahía de Paracas las densidades más altas del fitoplancton potencialmente tóxico ocurrieron en verano (febrero/marzo), cuando la temperatura superficial alcanzó hasta los 23.27 C°. También menciona que las diatomeas y los dinoflagelados fueron los grupos más representativos, coincidiendo con los resultados que muestran a las diatomeas como grupo dominante en las FA (figura 10)

McQuoid (2005) menciona que, si bien la temperatura y la luz pueden regular el desarrollo de algunas especies de fitoplancton, la salinidad también tiene gran importancia en la fisiología del plancton, ya que tiene injerencia en la germinación, el crecimiento y desarrollo de las FA. Los mismos parámetros que mostraron tener correlación con la densidad del fitoplancton (tabla 5).

Como se apreció en los resultados de este trabajo, no en todas las áreas de estudio hubo correlación entre los parámetros ambientales y la densidad de fitoplancton (tabla 5), debido a que éstas, pudieron ser influenciadas por otros factores. Cloern *et al.* (2005) menciona que la estratificación térmica es una condición para el desarrollo de FA, independientemente si la carga de nutrientes o temperatura son las adecuadas, ya que la acción del viento o de las mareas generan turbulencia, evitando la estratificación del agua y con ello la formación de FA.

En la base de datos proporcionada por SANIPES, no existe información sobre la dirección y velocidad de los vientos o sobre la presencia de una termoclina que ayude a explicar el comportamiento de las especies de fitoplancton de una población algal en este sentido tratándose de una información importante para modelar o advertir la presencia o desarrollo de una FA resulta recomendable que se incorpore estos parámetros como obligatorios en momentos de muestreo.

Más aún, los análisis de correlación demostraron que la temperatura es el parámetro que posee mayor relación con la densidad del fitoplancton en tres de las nueve áreas de estudio, teniendo una relación directa en todos los casos, lo que sugiere que la aparición de una FA está ligada al aumento de la TSM. Neyra (2015) menciona que la temperatura y salinidad son parámetros que influyen en la presencia y desarrollo del fitoplancton, siendo la temperatura un factor limitante para el crecimiento. Al igual que Martínez (2018) que también menciona que la temperatura es una de las variables oceanográficas importantes para la distribución y variación del fitoplancton. Baylón (2019) demostró que

existe una correlación positiva en la abundancia de euglenofitas, nanoflagelados y dinoflagelados con la temperatura.

La salinidad tiene efecto en la fotosíntesis, ya que la mayor parte del fitoplancton se desarrolla en salinidades mayores a 15 ppm Neyra (2015), además, Baylón (2019) demostró correlación positiva entre el grupo Raphidophyceae con la salinidad y oxígeno disuelto, esto coincide con lo mencionado por Vargo (2009) que concluye que la temperatura y salinidad junto con los nutrientes, influyen en la ocurrencia, duración, biomasa y distribución de las FA.

Si bien es cierto, según las pruebas de Spearman, la densidad del fitoplancton está relacionada con la temperatura, pH y salinidad (tabla 5) hay tener en cuenta que según Anderson (2014) el aporte o aumento de los nutrientes puede favorecer el desarrollo de las FA. Este autor menciona, por ejemplo, que la maricultura de moluscos de grandes densidades actúa como una fuente de nutrientes el medio debido a la acumulación de heces y la baja tasa de asimilación. Este también es un factor para evaluar ya que en las áreas de la bahía de Sechura se realiza el cultivo de concha de abanico lo que podría estar contribuyendo también con el aporte de nutrientes al medio. Baylón (2019) demostró que existe una correlación positiva en la abundancia de euglenofitas, nanoflagelados y dinoflagelados con la temperatura, mientras que el grupo Raphidophyceae se correlacionó con la salinidad y oxígeno disuelto.

Arteaga. et al. (2008) en la cuenca pacífica colombiana, mencionan que la abundancia de fitoplancton podría estar determinada por factores, como corrientes marinas, intensidad lumínica y nutrientes disponibles. Albañil (2013), reportó que la bahía recibe gran cantidad de afluentes por parte de la agricultura, plantas pesqueras, sanguaza de flotas pesqueras y de desembarcaderos, residuos urbanos y desechos de la planta de fosfatos.

Vargas y Mendoza (2017), reportaron que las áreas de Parachique y San Pedro reciben aguas domésticas, así como también la bahía recibe gran cantidad de afluentes de la agricultura, plantas pesqueras, sanguaza de flotas pesqueras, de desembarcaderos, y desechos de la planta de fosfatos, los cuales finalmente terminan aportando formas de nitrógeno y fósforo que alientan la formación de floraciones algales.

#### VI. CONCLUSIONES

En el periodo mayo 2021-noviembre 2022 se presentaron 35 FA en la bahía de Sechura, 26 fueron causadas por diatomeas, 6 por flagelados no identificados, 2 por rafidofitas y 1 por dinoflagelados. La mayoría se presentaron en verano y las de mayor densidad en los meses de febrero y marzo.

Las especies causantes de las FA en el periodo mayo 2021-noviembre 2022 fueron, diatomeas (*Detonula pumila, Skeletonema costatum, Chaetoceros sp, Chaetoceros socialis, Thalassionema nitzschioides, Leptocylindrus danicus*), dinoflagelados (orden Peridiniales), rafidofitas (*Heterosigma akashiwo*) y otros flagelados no identificados. Además, la densidad más alta (53034457 cél/L) fue causada por *Chaetoceros sp* en marzo del 2022 en el área de las Delicias.

Los valores promedios de los parámetros en la bahía de Sechura oscilaron entre 1.79 – 7.95 mg/L para el oxígeno disuelto; 14.75 – 22.60 °C para temperatura; 32.28 – 35.54 ppm para salinidad y 7.7 – 8.77 para los valores del pH.

Las diatomeas mostraron una correlación positiva alta con la temperatura (+0.565) en el área de Barrancos, mientras que en Vichayo presentaron una relación negativa alta (-0.578) con la salinidad. Por otro lado, los dinoflagelados exhibieron una correlación positiva alta con el pH (+0.634) en Chulliyachi. Asimismo, en la zona de Constante se registró una correlación positiva alta (+0.603) entre los flagelados no identificados y la temperatura.

#### VII. RECOMENDACIONES

Para lograr que los datos sean lo más precisos se recomienda que la toma de muestras se realice en una misma hora del día, además para realizar un análisis más exhaustivo se podrían tomar datos sobre las corrientes marinas y los nutrientes presentes en la bahía, este último es un parámetro muy importante para la aparición y desarrollo de una FA.

Teniendo en cuenta que la bahía de Sechura recepciona temporalmente nutrientes procedentes de aguas fluviales, así como procedentes de la industria pesquera que disponen sus efluentes directamente a la bahía y por otro lado los nutrientes derivados del cultivo industrial de *Argopecten purpuratus* a través de las heces y pseudoheces, resulta de suma importancia que dentro de los parámetros a monitorear para comprender y gestionar las FA en la bahía, estos sean considerados como parámetros obligatorios a registrar durante los monitoreos.

SANIPES debería oficializar que en los monitoreos se incorpore también la iluminancia, dirección y velocidad de los vientos y las corrientes debido a que son parámetros muy importantes para el desarrollo de una FA.

#### VIII. REFERENCIAS BIBLIOGRÁFICAS

- Albañil, M. (2013). Diagnóstico de la zona marino costera de Sechura. Piura región.
- Anderson, D., Burkholder, J., Cochlan, W., Glibert, P., Gobler, C., Heil, C., Kudela, R., Parsons, M., Rensel, J., Townsend, D., Trainer, V., Vargo, G. (2008). Harmful algal blooms and eutrophication: Examining linkages from selected coastal regions of the United States. *Harmful Algae*, 8(1), 39-53. https://doi.org/10.1016/j.hal.2008.08.017
- Anderson, D., Cembella, A & Hallegraeff, G. (2012). Progress in understanding harmful algal blooms: paradigm shifts and new technologies for research, monitoring, and management. *Annual Review of Marine Science*, 4, 143-176. <a href="https://doi.org/10.1146/annurev-marine-120308-081121">https://doi.org/10.1146/annurev-marine-120308-081121</a>
- Anderson, D. (2014). HABs in a changing world: a perspective on harmful algal blooms, their impacts, and research and management in a dynamic era of climactic and environmental change. 2012. 3-17.
- Arteaga, E., Rodríguez, E., Galeano, A. (2008). Distribución, abundancia y composición del fitoplancton y condiciones ambientales en la cuenca pacífica colombiana, durante enero- febrero de 2007. *Boletín Científico* CCCP, (15). 105-122. <a href="https://doi.org/10.26640/01213423.15.105\_122">https://doi.org/10.26640/01213423.15.105\_122</a>

- Arteaga, E. y Perdomo, L. (2016). Distribución, frecuencia y abundancia del fitoplacton potencialmente toxígeno en la cuenca pacífica colombiana. *Instituto de Investigaciones Marinas y Costeras*, 45(1), 135-148. <a href="http://dx.doi.org/10.25268/bimc.invemar.2016.45.1.635">http://dx.doi.org/10.25268/bimc.invemar.2016.45.1.635</a>
- Barbier, E. B., Hacker, S. D., Kennedy, C., Koch, E. W., Stier, A. C., & Silliman, B. R. (2011). The value of estuarine and coastal ecosystem services. *Ecological Monographs*, 81(2), 169-193. <a href="https://doi.org/10.1890/10-1510.1">https://doi.org/10.1890/10-1510.1</a>
- Baylón, M., Advíncula, O., Loyola, O., Norabuena, A. y Hernández-Becerril, D. (2019). Variación espacial y temporal del fitoplancton con énfasis en las floraciones algales frente a la playa de pescadores artesanales de Chorrillos / Lima / Perú. *Ecología Aplicada*, 18(2), 133-143. <a href="https://doi.org/10.21704/rea.v18i2.1332">https://doi.org/10.21704/rea.v18i2.1332</a>
- Buschmann, A. (2001). Impacto ambiental de la acuicultura el estado de la investigación en Chile y el mundo. Un análisis bibliográfico de los avances y restricciones para una producción sustentable en los sistemas acuáticos. *Fundación Terram*.
- Cabello, R., Tam, J. y Jacinto, M. (2002). Procesos naturales y antropogénicos asociados al evento de mortalidad de conchas de abanico ocurrido en la bahía de Paracas (Pisco,Perú) en junio del 2000. *Revista peruana de biología*, 9(2), 49-65. http://dx.doi.org/10.15381/rpb.v9i2.2528
- Cloern, James & Schraga, Tara & Lopez, Cary & Knowles, Noah & Labiosa, Rochelle & Dugdale, Richard. (2005). Climate anomalies generate an exceptional dinoflagellate bloom in San Francisco Bay. Geophys. Res. Lett. 32. <a href="https://doi.org/10.1029/2005GL023321">https://doi.org/10.1029/2005GL023321</a>.
- Du, X., Peterson, W., McCulloch, A. & Liu, W. (2011). An unusual bloom of the dinoflagellate *Akashiwo sanguinea* off the central Oregon, USA, coast in autumn 2009. *Harmful Algae*, 10(6), 784–793. https://doi.org/10.1016/j.hal.2011.06.011
- Escribano, R. y Castro, L. (2005). Plancton y Productividad. En C. Werlinger. (Ed.) *Biología Marina y Oceanografía: Conceptos y Procesos. Tomo I.* (pp. 289-314). Departamento de Oceanografía Universidad de Concepción.
- FAO. (2011). Desarrollo de la acuicultura. 4. Enfoque ecosistémico a la acuicultura. FAO Orientaciónes Técnicas para la Pesca Responsable. No. 5, Supl. 4. 60p.
- Graco, M., Ledesma, J., Flores, G. y Girón, M. (2007). Nutrientes, oxígeno y procesos biogeoquímicos en el sistema de surgencias de la corriente de Humboldt frente a Perú. *Revista peruana de Biología, 14*(1), 117-128.
- Hernández Sampieri, R., Fernández Collado, C., & Baptista Lucio, M., (2014). *Metodología de la investigación* (6ª ed.). McGraw-Hill España
- Hernández. S., Gómez, F., y Verdugo., G. (2001). Dinámica del plancton en la región sur de la Corriente de California. *Revista de Biología Tropical*, 49(1), 15-30.
- Higuera, P. y Ortiz, J. (2007). Comportamiento del fitoplancton durante el evento enos en el océano pacífico colombiano. *Ingeniería de Recursos Naturales y del Ambiente*, 6, 5-15.
- IMARPE (2007). Estudio de línea base del ámbito marino de la bahía de Sechura 14 28 enero 2007.
- IMARPE (2020). Anuario científico tecnológico Vol 20, 2020

- Instituto del Mar del Perú [IMARPE]. (2022, 5 de agosto). Imarpe registró floración algal en bahía de Sechura. <a href="https://www.gob.pe/institucion/imarpe/noticias/586385-imarpe-registro-floracion-algal-en-bahia-de-sechura">https://www.gob.pe/institucion/imarpe/noticias/586385-imarpe-registro-floracion-algal-en-bahia-de-sechura</a>
- Jacobo, N., Sánchez S., Bernales A., Chang F., Flores G. (2021). Variabilidad estacional del fitoplancton y su asociación con parámetros físico-químicos, bahía de Miraflores (12°s). *Instituto del Mar del Perú*, 48(2). 173-185.
- Martínez, O. (2018) variación estacional del fitoplancton potencialmente tóxico frente a los parámetros ambientales y oceanográficos en el área de Atenas -bahía de Paracas. Tesis. Universidad Nacional Federico Villareal.
- McQuoid M. 2005. Influence of salinity on seasonal germination of resting stages and composition of microplankton on the Swedish west coast. Mar. Ecol. Prog. Ser., 289, 151-163.
- Neyra, V. (2015). Composición y abundancia de diatomeas y dinoflagelados potencialmente tóxicos en la bahía de Sechura, departamento de Piura Perú. Tesis para obtener el título de biólogo pesquero. Trujillo: Universidad Nacional de Trujillo
- Ochoa N., Taylor M. H., Purca S. & Ramos E. (2010). Intra and interannual variability of nearshore phytoplankton biovolume and community changes in the northern Humboldt Current system. *Journal of Plankton Research*, *32*(6), 843–855.
- Organismo de Evaluación y Fiscalización Ambiental. (2017). *Plan complementario de evaluación ambiental en la bahía de Sechura para el año 2017* (001). <a href="http://visorsig.oefa.gob.pe/datos\_de/PM0201/PM020102/02/PA/PA\_0001-2017-OEFA-DE-CEAPIO.pdf">http://visorsig.oefa.gob.pe/datos\_de/PM0201/PM020102/02/PA/PA\_0001-2017-OEFA-DE-CEAPIO.pdf</a>
- Orozco, R., Quispe, Y., Lorenzo, A. y Zamudio, M. (2017). Asociación de floraciones de algas nocivas y *Vibrio spp*. En áreas de pesca y acuicultura de bivalvos de moluscos en las bahías de Sechura y Pisco, Perú. *Revista Peruana de Biología*, 24(1), 111-116. http://dx.doi.org/10.15381/rpb.v24i1.13111
- Reguera. (2002). Establecimiento de un programa de seguimiento de microalgas tóxicas. En E. Sar, M. Ferrario y B. Reguera. (Eds.). *Floraciones algales nocivas en el cono sur americano* (pp. 19-54). Instituto Español de Oceanografía.
- Reguera, B., Escalera, L., Pazos, Y. y Moroño, A. (2008). Episodios de fitoplancton tóxico en la ría de Vigo. En A. González-Garcés, F. Vilas y X. Álvarez. (Eds.). *La ría de*
- Sánchez, S., Delgado E., Bances, S., Quintana, P. y Huamani, A. 2015. Floraciones algales en aguas costeras del mar peruano Paita-Ilo. *Instituto del Mar del Perú*, 3.
- Sastre, A., Santinelli. N. y Ferrario, M. (2019). Floraciones algales nocivas. En A. Sastre. (Ed.). *Microalgas marinas tóxicas en aguas costeras de la provincia de Chubut* (5-18). Fondo Federal Pesquero.
- Sellner, K., Doucette, G. & Kirkpatrick, G. (2003). Harmful algal blooms: causes, impacts and detection. *Journal of Industrial Microbiology and Biotechnology*, *30*(7), 383-406. https://doi.org/10.1007/s10295-003-0074-9
- Silva, S., Macuéria, M., Maurício, D., Ruby, C., Fernandes, M. y Coelho, P. (2018). Dinámica del fitoplancton y la variabilidad del clima en las costas de Angola. *Revista Cubana de Investigaciones Pesqueras*, 35(1), 9-12.
- Soto, D., Aguilar-Manjarrez, J., Brugère, C., Angel, D., Bailey, C., Black, K., Edwards, P., Costa-Pierce, B., Chopin, T., Deudero, S., Freeman, S., Hambrey, J., Hishamunda,

- N., Knowler, D., Silvert, W., Marba, N., Mathe, S., Norambuena, R., Simard, F...Wainberg, A. (2008). Applying an ecosystem-based approach to aquaculture: principles, scales and some management measures. En D. Soto, J. Aguilar-Manjarrez, & N. Hishamunda. (Eds.). *Building an ecosystem approach to aquaculture* (pp. 15-35). FAO.
- Vargas, R., Mendoza, E. (2017). Perturbación de fuentes contaminantes en la sostenibilidad de la Bahía de Sechura. INFINITUM. 7(1). 42-51. https://doi.org/10.51431/infinitum.v7i1.60
- Vargo G.A. 2009. A brief summary of the physiology and ecology of Karenia brevis Davis (G. Hansen and Moestrup comb. Nov.) red tides on the West Florida Shelf and of hypotheses posed for their initiation, growth, maintenance, and termination. Harmful Algae, 8 (4): 573-584.

## IX. ANEXOS

**Tabla 6.**Densidad de los grupos taxonómicos en las floraciones algales durante el periodo de estudio.

ÁREA						OTRO	
	FECHA	DIATOMEAS	DINOFLAGELADOS	SILICOFLAGELADOS	RAFIDOFITAS	FLAGELADOS	DEN. TOTAL
	8/6/2021	8587750	5400	760	0	94398	8688308
	24/2/2022	40100	1369863	400	9248801	972016	11631179
Barr.	10/3/2022	142800	2160	2880	0	7951483	8099323
	7/4/2022	1712400	3680	0	0	1889260	3605340
	19/5/2022	3080	680	0	0	1862357	1866117
	8/6/2021	1335648	1200	0	0	111511	1448360
Chull.	2/7/2021	2487483	1120	0	0	149580	2638183
Cituii.	21/7/2021	1198470	3520	0	0	36014	1238004
	24/2/2022	1094233	816876	800	0	1299202	3211111
	9/3/2022	27100333	118655	0	8420550	955679	36595216
Const.	23/3/2022	2168164	640	0	0	26138	2194942
	21/4/2022	1470573	0	0	0	202573	1673146
	30/6/2021	1824020	1060	0	0	103261	1928341
Las Del.	9/3/2022	53075858	4150	0	3050	2617366	55700424
	21/4/2022	3912880	260	0	0	14646	3927786
	8/6/2021	2419711	680	0	0	21849	2442240
Mat.	24/2/2022	11567	3598341	0	0	744036	4353944
	24/3/2022	1331159	200	0	60	150656	1482075
	30/12/2021	1371156	1240	0	0	107821	1480217
Parach.	11/2/2022	139842	3560	0	1172310	336532	1652244
	25/2/2022	61240	445386	0	0	2813503	3320129
	16/6/2021	3013346	5800	573	1520	23769	3045009
	1/7/2021	2325983	3033	333	0	394761	2724110
Prto.Rico	20/7/2021	1662614	567	200	0	245967	1909347
	15/12/2021	11307	640	93	0	1266663	1278703
	9/2/2022	24000	2680	240	241773	976963	1245656

	26/2/2022	1406312	1960	373	0	2175994	3584640
	28/5/2021	2867604	2760	680	620	97239	2968903
	18/6/2021	1020425	360	0	0	25930	1046715
San Pedro	2/7/2021	1995373	9100	600	0	388959	2394032
Sali Peulo	29/12/2021	2565973	29750	150	0	302224	2898096
	11/2/2022	307300	211834	240	1753377	3834376	6107126
	25/2/2022	2614488	123458	0	0	580167	3318112.5
	8/6/2021	3047543	1200	0	0	61585	3110328
Vich.	16/6/2021	1160177	40	0	0	25930	1186147
VICII.	20/7/2021	1143638	800	0	0	73030	1217468
	24/2/2022	1549138	33700	1500	0	130691	1715029

**Tabla 7.**Valores de los parámetros y densidad total en todas las fechas de muestreo en las nueve áreas de estudio.

	FECHA DE	TRANSPARENCIA	OXÍGENO	TEMPERATURA	SALINIDAD		DENSIDAD
ÁREA	MONITOREO	(m)	SUP	SUP	SUP	pH SUP	TOTAL
BARRANCOS	25/05/2021	3.00	4.52	18.70	33.62	8.23	410008
BARRANCOS	8/06/2021	4.00	4.26	19.20	33.40	8.13	8688308
BARRANCOS	17/06/2021	3.00	2.35	18.25	33.32	8.19	228481
BARRANCOS	30/06/2021	3.00	3.12	16.96	33.68	8.35	23364
BARRANCOS	21/07/2021	4.00	4.36	17.25	33.29	8.19	271889
BARRANCOS	16/11/2021	2.00	2.60	16.63	33.14	8.31	31332
BARRANCOS	1/12/2021	3.00	2.52	18.55	33.38	8.55	8123
BARRANCOS	15/12/2021	4.00	2.70	17.55	33.36	8.55	72013
BARRANCOS	24/02/2022	1.50	4.54	16.91	35.21	8.40	11631179
BARRANCOS	10/03/2022	1.50	2.45	24.02	35.06	8.66	8099323
BARRANCOS	24/03/2022	2.00	5.13	19.15	32.27	8.31	404094
BARRANCOS	7/04/2022	3.00	3.30	18.35	34.98	8.50	3605340
BARRANCOS	19/05/2022	2.00	2.65	17.75	35.41	8.00	1866117
BARRANCOS	2/06/2022	3.00	2.81	17.35	34.85	7.98	31446
BARRANCOS	18/06/2022	4.00	2.72	16.81	35.20	8.15	36697
BARRANCOS	29/06/2022	4.00	2.80	16.10	35.73	8.03	40728
CHULLIYACHI	27/05/2021	2.67	3.01	19.22	34.37	8.16	398043
CHULLIYACHI	8/06/2021	2.67	2.93	18.37	34.40	8.19	1448360
CHULLIYACHI	17/06/2021	2.67	3.07	19.45	34.58	8.13	243336
CHULLIYACHI	2/07/2021	3.00	2.88	19.53	34.33	8.23	921219
CHULLIYACHI	21/07/2021	3.50	3.06	20.09	34.13	8.16	814277
CHULLIYACHI	18/11/2021	3.00	3.00	19.36	34.16	8.27	12245
CHULLIYACHI	2/12/2021	3.67	2.85	18.99	34.18	8.13	89168
CHULLIYACHI	16/12/2021	3.00	3.16	16.78	33.44	8.16	762618
CHULLIYACHI	10/02/2022	1.67	4.07	19.59	35.19	8.43	358331
CHULLIYACHI	24/02/2022	1.63	3.82	20.07	35.16	8.48	3211111
CHULLIYACHI	10/03/2022	6.00	5.27	24.60	32.51	8.27	72750
CHULLIYACHI	24/03/2022	1.67	5.66	19.99	33.45	8.33	49522

CHULLIYACHI	24/03/2022	1.67	5.66	19.99	33.45	8.33	49522
CHULLIYACHI	7/04/2022	2.00	3.62	18.97	33.17	8.10	61344
CHULLIYACHI	5/05/2022	1.33	6.45	19.64	34.97	8.51	293841
CHULLIYACHI	19/05/2022	1.17	6.46	18.04	34.95	8.45	29024
CHULLIYACHI	2/06/2022	2.00	4.60	17.24	35.10	8.52	43001
CHULLIYACHI	18/06/2022	7.00	3.34	17.01	33.76	7.99	59917
CHULLIYACHI	13/07/2022	2.17	3.21	16.74	35.46	7.97	153521
CHULLIYACHI	30/07/2022	4.67	3.25	16.14	34.44	8.00	48952
CHULLIYACHI	19/09/2022	2.83	3.11	16.35	32.75	7.97	45641
CHULLIYACHI	27/09/2022	1.83	2.09	15.82	*	7.96	101232
CHULLIYACHI	7/10/2022	2.67	2.14	15.08	33.03	7.89	87625
CHULLIYACHI	25/10/2022	2.50	2.03	15.83	33.04	7.89	50361
CHULLIYACHI	7/11/2022	1.50	2.56	16.13	33.06	7.93	552689
CONSTANTE	25/05/2021	3.00	2.82	21.50	34.60	7.96	455295
CONSTANTE	3/06/2021	3.00	2.24	20.40	34.20	8.16	907383
CONSTANTE	16/06/2021	3.00	2.46	20.42	34.30	8.40	105556
CONSTANTE	30/06/2021	4.00	2.80	20.38	34.24	8.17	261434
CONSTANTE	20/07/2021	4.50	2.96	20.14	34.18	8.14	691379
CONSTANTE	17/11/2021	4.00	3.26	17.77	33.31	8.51	52261
CONSTANTE	1/12/2021	3.50	2.02	16.50	35.20	8.18	12403
CONSTANTE	15/12/2021	4.00	2.90	16.15	33.95	8.18	21367
CONSTANTE	26/02/2022	3.00	3.24	18.30	33.26	8.31	470791
CONSTANTE	9/03/2022	0.80	5.42	23.50	35.36	8.45	36595216
CONSTANTE	23/03/2022	2.00	5.14	19.12	32.21	8.24	2194942
CONSTANTE	6/04/2022	2.00	3.45	20.21	33.47	7.91	63839
CONSTANTE	21/04/2022	1.50	3.20	16.33	33.35	7.90	1673146
CONSTANTE	4/05/2022	2.00	5.88	19.14	35.11	8.49	85575
CONSTANTE	18/05/2022	2.00	2.30	18.25	33.90	8.00	40616
CONSTANTE	1/06/2022	2.00	5.77	15.99	35.01	8.44	45814
CONSTANTE	29/06/2022	2.00	4.53	17.48	35.35	8.13	8603
CONSTANTE	13/07/2022	6.00	3.83	16.68	34.73	8.46	155774
CONSTANTE	25/07/2022	5.00	7.85	18.60	35.31	8.65	59850
CONSTANTE	18/09/2022	3	1.9	17.4	*	7.92	54382
CONSTANTE	26/09/2022	3	3.55	15.48	*	7.98	43688
CONSTANTE	6/10/2022	3	2.46	15.1	33.12	7.94	26366
CONSTANTE	21/10/2022	4	3.1	15.35	32.89	7.98	77253
CONSTANTE	3/11/2022	3	3.11	15.3	33.04	7.95	50942
LAS DELICIAS	24/05/2021	3.00	3.00	19.45	33.55	8.24	67514
LAS DELICIAS	2/06/2021	3.00	2.88	19.37	35.05	8.21	527676
LAS DELICIAS	16/06/2021	3.00	3.01	19.25	35.00	8.32	253994
LAS DELICIAS	30/06/2021	2.50	3.03	18.15	34.95	8.13	1928341
LAS DELICIAS	20/07/2021	2.75	2.25	19.55	34.63	8.10	60440
LAS DELICIAS	18/11/2021	5.00	3.45	18.60	34.45	8.47	60658
LAS DELICIAS	2/12/2021	4.00	4.06	17.20	33.37	7.89	63425
LAS DELICIAS	16/12/2021	2.50	2.99	16.52	35.08	8.20	17567
LAS DELICIAS	26/02/2022	2.50	4.52	19.82	33.36	8.20 8.19	586088
LAS DELICIAS	9/03/2022	1.25	4.52 5.08	24.18	35.44	8.19 8.50	55700424
LAS DELICIAS	23/03/2022	2.00	5.08	19.18	32.23	8.25	313728
LAS DELICIAS	23/03/2022	2.00	5.24	19.18	32.23	0.25	313/28

LAS DELICIAS	6/04/2022	4.50	3.61	20.13	33.37	7.92	65525
LAS DELICIAS	21/04/2022	3.50	3.25	16.31	33.39	7.89	3927786
LAS DELICIAS	4/05/2022	1.50	5.03	21.08	34.75	8.47	75539
LAS DELICIAS	18/05/2022	2.00	2.70	18.99	34.05	8.05	62359
LAS DELICIAS	1/06/2022	3.00	6.39	17.78	34.99	8.57	81262
LAS DELICIAS	29/06/2022	3.00	4.37	17.41	35.32	8.12	12083
LAS DELICIAS	25/07/2022	2.50	7.95	18.44	35.41	8.77	49323
LAS DELICIAS	18/09/2022	3	2.7	17.2	*	8.005	133639
LAS DELICIAS	26/09/2022	3	2.66	15.705	*	7.975	10404
LAS DELICIAS	6/10/2022	3	2.8	15.165	33.23	7.87	69730
LAS DELICIAS	21/10/2022	2.25	2.725	15.04	33.35	7.86	64925
LAS DELICIAS	3/11/2022	4	2.73	14.745	33.4	7.83	38601
MATACABALLO	26/05/2021	2.00	3.02	19.60	34.25	8.37	135344
MATACABALLO	8/06/2021	2.00	2.94	19.71	34.25	8.23	2442240
MATACABALLO	17/06/2021	3.25	3.72	19.86	34.55	8.50	37291
MATACABALLO	2/07/2021	1.50	2.86	19.23	34.25	8.30	206851
MATACABALLO	21/07/2021	3.90	2.02	20.08	34.20	8.13	187559
MATACABALLO	18/11/2021	2.50	2.45	19.37	34.21	8.15	23009
MATACABALLO	2/12/2021	5.00	2.25	19.10	32.20	8.10	41136
MATACABALLO	15/12/2021	4.25	2.95	16.60	34.10	7.98	18866
MATACABALLO	28/12/2021	4.00	4.48	16.78	33.48	8.23	359525
MATACABALLO	10/02/2022	2.00	4.14	19.20	35.27	8.33	72943
MATACABALLO	24/02/2022	3.07	3.97	20.02	35.03	8.33	4353944
MATACABALLO	10/03/2022	6.00	5.21	24.20	32.26	8.26	154799
MATACABALLO	24/03/2022	2.00	5.41	21.01	34.87	8.44	1482075
MATACABALLO	7/04/2022	2.50	4.14	20.06	33.51	8.07	103900
MATACABALLO	5/05/2022	1.50	6.47	19.79	35.11	8.56	46953
MATACABALLO	19/05/2022	3.25	6.16	19.08	34.90	8.48	661567
MATACABALLO	2/06/2022	2.00	4.05	17.88	35.15	8.64	56461
MATACABALLO	18/06/2022	5.50	3.47	17.01	33.96	8.01	32063
MATACABALLO	30/06/2022	5.50	3.74	16.07	35.08	8.01	43017
MATACABALLO	13/07/2022	2.25	3.11	16.62	35.54	8.06	150415
MATACABALLO	20/09/2022	2.25	3.35	16.5	33.025	7.985	244920
MATACABALLO	27/09/2022	1.75	2.05	15.83	*	7.97	153118
MATACABALLO	7/10/2022	2.75	2.22	15.06	33.1	7.91	102099
MATACABALLO	25/10/2022	2.75	1.77	15.85	33.05	7.885	80102
MATACABALLO	7/11/2022	1.25	1.92	16.03	33.045	7.885	67364
PARACHIQUE	27/05/2021	3.00	4.42	19.51	33.40	8.17	51971
PARACHIQUE	2/06/2021	3.25	3.94	18.59	33.57	8.31	116798
PARACHIQUE	17/06/2021	3.00	3.15	18.89	33.34	8.25	272593
PARACHIQUE	30/06/2021	3.25	3.16	18.31	33.39	8.23	361803
PARACHIQUE	21/07/2021	3.25	4.04	18.17	33.88	8.31	493502
PARACHIQUE	17/11/2021	4.00	3.78	16.33	33.82	8.31	39816
PARACHIQUE	30/11/2021	4.00	3.02	17.12	33.61	8.25	36964
PARACHIQUE	30/12/2021	2.00	3.56	16.21	34.17	8.10	1480217
PARACHIQUE	11/02/2022	2.00	3.34	17.23	34.54	8.23	1652244
PARACHIQUE	25/02/2022	2.00	3.80	18.41	33.40	8.07	3320129
PARACHIQUE	8/04/2022	3.00	1.98	20.26	34.98	7.80	187047
	-,,	5.56		_00			

PARACHIQUE	23/04/2022	2.00	2.17	17.85	34.58	8.59	340940
PARACHIQUE	6/05/2022	2.00	2.35	17.83	35.37	7.96	123523
PARACHIQUE	20/05/2022	2.50	2.49	17.40	35.52	8.00	69737
PARACHIQUE	3/06/2022	2.00	3.40	15.80	34.96	8.02	49296
PARACHIQUE	12/07/2022	4.00	2.71	17.00	35.43	8.17	10163
PARACHIQUE	8/10/2022	4.25	2.45	15.69	*	7.84	246503
PARACHIQUE	7/11/2022	4	2.31	16.08	*	7.98	184782
PUERTO RICO	26/05/2021	3.17	3.41	19.42	33.74	8.30	262994
PUERTO RICO	3/06/2021	3.33	3.44	18.69	33.39	8.29	95232
PUERTO RICO	16/06/2021	4.17	2.95	18.39	33.49	8.25	3045009
PUERTO RICO	1/07/2021	2.83	3.25	17.40	33.45	8.23	2724110
PUERTO RICO	20/07/2021	2.33	4.59	17.28	33.71	8.44	1909347
PUERTO RICO	16/11/2021	2.33	4.59	15.24	33.71	8.44	83370
PUERTO RICO	1/12/2021	5.00	4.51	17.13	33.55	8.57	14428
PUERTO RICO	15/12/2021	4.33	3.88	17.87	33.46	8.77	1278703
PUERTO RICO	27/12/2021	4.33	3.68	16.47	33.57	8.18	101955
PUERTO RICO	9/02/2022	4.33	3.13	18.05	34.92	8.33	925537
PUERTO RICO	26/02/2022	2.50	3.25	18.63	35.40	8.54	3584640
PUERTO RICO	9/03/2022	4.33	4.08	21.66	32.16	8.19	303038
PUERTO RICO	23/03/2022	3.33	1.59	19.30	33.11	7.94	43876
PUERTO RICO	6/04/2022	1.00	4.52	20.00	34.49	8.51	9297
PUERTO RICO	21/04/2022	4.00	3.39	17.33	34.88	8.47	35653
PUERTO RICO	4/05/2022	3.67	4.35	16.83	34.24	8.24	194574
PUERTO RICO	18/05/2022	4.00	2.49	18.56	33.11	7.79	330946
PUERTO RICO	1/06/2022	4.50	2.69	17.87	34.83	7.99	256588
PUERTO RICO	20/06/2022	5.67	2.66	16.47	35.36	8.10	100684
PUERTO RICO	30/06/2022	4.17	3.32	16.82	35.61	7.86	124063
PUERTO RICO	19/09/2022	4.67	2.72	17.11	*	8.17	132587
PUERTO RICO	26/09/2022	5.33	4.40	16.41	*	8.04	126636
PUERTO RICO	6/10/2022	4.33	1.80	15.48	*	7.72	226970
PUERTO RICO	25/10/2022	5.33	2.44	16.62	*	7.93	3524865
PUERTO RICO	3/11/2022	3.67	2.29	16.07	*	7.94	160497
SAN PEDRO	28/05/2021	2.50	3.37	19.47	33.10	8.27	2968903
SAN PEDRO	4/06/2021	2.50	3.05	19.11	33.20	8.51	48319
SAN PEDRO	18/06/2021	3.25	3.08	19.34	34.14	8.14	548444
SAN PEDRO	2/07/2021	3.75	3.92	19.33	33.58	8.25	2394032
SAN PEDRO	16/07/2021	4.50	3.08	19.36	34.14	8.13	493502
SAN PEDRO	19/11/2021	3.50	4.98	15.55	32.28	8.32	9744
SAN PEDRO	3/12/2021	4.50	2.82	19.27	34.15	8.13	527288
SAN PEDRO	17/12/2021	4.00	3.09	18.11	33.28	8.13	36474
SAN PEDRO	29/12/2021	4.50	2.97	16.48	33.20	8.13	2898096
SAN PEDRO	11/02/2022	3.50	3.51	18.29	35.10	8.29	6107126
SAN PEDRO	25/02/2022	2.00	4.01	18.40	34.30	8.27	3318113
SAN PEDRO	6/05/2022	2.50	2.63	18.61	31.73	8.40	82067
SAN PEDRO	20/05/2022	1.25	2.80	16.38	33.15	7.83	72867
SAN PEDRO	3/06/2022	3.00	3.85	15.76	33.87	7.90	96469
SAN PEDRO	17/06/2022	2.00	3.28	16.99	33.83	7.97	70825
SAN PEDRO 2	1/07/2022	2.75	3.40	16.78	35.56	8.04	123983

SAN PEDRO 2	15/07/2022	1.75	2.83	15.90	35.49	8.04	54953
SAN PEDRO 2	27/07/2022	3.75	2.34	16.50	33.67	7.92	36994
SAN PEDRO 1	23/09/2022	1.25	3.3	15.7	*	7.89	503402
SAN PEDRO 1	4/11/2022	2.5	2.35	15.81	32.995	7.925	123760
VICHAYO	24/05/2021	5.00	3.40	20.65	33.42	8.01	135187
VICHAYO	8/06/2021	4.00	3.59	19.40	33.22	8.21	3110328
VICHAYO	16/06/2021	3.00	3.45	18.55	33.42	8.16	1186147
VICHAYO	1/07/2021	3.00	3.95	17.35	33.18	8.10	551740
VICHAYO	20/07/2021	2.50	4.29	17.55	33.45	8.29	1217468
VICHAYO	17/11/2021	2.50	4.29	16.28	33.45	8.29	88057
VICHAYO	30/11/2021	6.00	3.34	16.07	33.58	8.70	53125
VICHAYO	15/12/2021	4.00	3.19	17.81	33.55	8.73	242098
VICHAYO	27/12/2021	4.00	3.31	16.35	33.10	8.05	344229
VICHAYO	24/02/2022	4.00	3.81	16.98	35.03	8.48	1715029
VICHAYO	10/03/2022	7.00	2.37	23.90	33.79	8.81	66185
VICHAYO	24/03/2022	6.00	1.67	16.96	33.49	7.98	55817
VICHAYO	7/04/2022	4.00	4.54	18.12	34.81	8.56	62037
VICHAYO	19/05/2022	6.00	2.75	17.98	35.51	7.85	55141
VICHAYO	2/06/2022	5.00	2.75	17.04	34.91	7.99	54368
VICHAYO	18/06/2022	6.00	2.48	16.21	35.36	7.76	49764
VICHAYO	29/06/2022	6.00	2.35	15.68	35.15	7.57	47155
VICHAYO	12/07/2022	7.00	4.10	16.87	35.18	8.38	84261
VICHAYO	26/07/2022	6.00	3.01	15.19	35.10	8.44	56056
VICHAYO	16/09/2022	6	1.68	15.94	*	7.89	36372
VICHAYO	27/09/2022	5	3.12	*	*	7.9	61158
VICHAYO	7/10/2022	6	1.47	13.85	*	7.65	100571
VICHAYO	24/10/2022	5	2.1	16.14	*	7.98	326519
			<u> </u>	<u> </u>	<del></del>	<del></del>	

*Nota.* Casillas con el símbolo \* se deben a que no se registraron datos en esa fecha.

**Tabla 8.** *Análisis de correlación de Spearman en el área de Barrancos.* 

			Oxígeno	Temperatura	Salinidad	рН	Diatomeas	Dinoflagelados	Silicoflagelado s	Rafidofitas	Otros.flagelado s
Rho de Spearman	Oxígeno	Coeficiente de correlación	1.000	.029	047	122	.391	.143	.172	.364	.197
•		Sig. (bilateral)		.914	.863	.652	.134	.597	.525	.166	.464
		N	16	16	16	16	16	16	16	16	16
	Temperatura	Coeficiente de correlación	.029	1.000	250	.292	,565°	.171	.343	252	.474
		Sig. (bilateral)	.914		.350	.273	.023	.526	.193	.346	.064
		N	16	16	16	16	16	16	16	16	16
	Salinidad	Coeficiente de correlación	047	250	1.000	223	229	.369	.318	.308	.321
		Sig. (bilateral)	.863	.350		.407	.393	.160	.230	.246	.226
		N	16	16	16	16	16	16	16	16	16
	pН	Coeficiente de correlación	122	.292	223	1.000	.168	040	.136	.196	.153
		Sig. (bilateral)	.652	.273	.407		.534	.883	.615	.466	.571
		N	16	16	16	16	16	16	16	16	16
	Diatomeas	Coeficiente de correlación	.391	,565	229	.168	1.000	.452	.472	.028	.403
		Sig. (bilateral)	.134	.023	.393	.534		.079	.065	.918	.122
		N	16	16	16	16	16	16	16	16	16
	Dinoflagelados	correlación	.143	.171	.369	040	.452	1.000	,501°	.422	.379
		Sig. (bilateral)	.597	.526	.160	.883	.079		.048	.104	.147
		N	16	16	16	16	16	16	16	16	16
	Silicoflagelado s	correlación	.172	.343	.318	.136	.472	,501°	1.000	.375	.390
		Sig. (bilateral)	.525	.193	.230	.615	.065	.048		.153	.136
		N	16	16	16	16	16	16	16	16	16
	Rafidofitas	Coeficiente de correlación	.364	252	.308	.196	.028	.422	.375	1.000	.252
		Sig. (bilateral)	.166	.346	.246	.466	.918	.104	.153		.346
	Otros.flagelado	N	16	16	16	16	16	16	16	16	16
		correlación	.197	.474	.321	.153	.403	.379	.390	.252	1.000
		Sig. (bilateral)	.464	.064	.226	.571	.122	.147	.136	.346	
		N	16	16	16	16	16	16	16	16	16

**Tabla 9.** *Análisis de correlación de Spearman en el área de Chulliyachi.* 

			Oxígeno	Temperatura	Salinidad	pН	Diatomeas	Dinoflagelados	Silicoflagelado s	Rafidofitas	Otros.flagelado s
Rho de Spearman	Oxígeno	Coeficiente de correlación	1.000	,531"	.319	,723	252	.220	.094	.031	207
		Sig. (bilateral)		.006	.129	.000	.235	.301	.661	.887	.332
		N	25	25	24	25	24	24	24	24	24
	Temperatura	Coeficiente de correlación	,531**	1.000	.211	,734**	.309	,449	025	100	177
		Sig. (bilateral)	.006		.322	.000	.142	.028	.910	.641	.407
		N	25	25	24	25	24	24	24	24	24
	Salinidad	Coeficiente de correlación	.319	.211	1.000	,505°	.176	.322	.218	.061	172
		Sig. (bilateral)	.129	.322		.012	.422				
		N	24	24	24	24	23	23	23	23	23
	pH	Coeficiente de correlación	,723	,734	,505	1.000	.146	,634	.205		292
		Sig. (bilateral)	.000	.000	.012		.498	.001	.337	.393	.166
		N	25	25	24	25	24	24	24	24	24
	Diatomeas	Coeficiente de correlación	252	.309	.176	.146	1.000	,518	.319	103	.170
		Sig. (bilateral)	.235	.142	.422	.498		.010	.129	.632	.428
		N	24	24	23	24	24	24	24	24	24
	Dinoflagelados	Coeficiente de correlación	.220	,449 <sup>*</sup>	.322	,634**	,518	1.000	.353	.012	.103
		Sig. (bilateral)	.301	.028	.135	.001	.010		.090	.955	.632
		N	24	24	23	24	24	24	24	24	24
	Silicoflagelado s	Coeficiente de correlación	.094	025	.218	.205	.319	.353	1.000	.260	.320
		Sig. (bilateral)	.661	.910	.317	.337	.129	.090		.219	.127
		N	24	24	23	24	24	24	24	24	24
	Rafidofitas	Coeficiente de correlación	.031	100	.061	183	103	.012	.260	1.000	.331
		Sig. (bilateral)	.887	.641	.781	.393	.632	.955	.219		.115
		N	24	24	23	24	24	24	24	24	24
	Otros.flagelado s	correlación	207	177	172	292	.170	.103	.320	.331	1.000
		Sig. (bilateral)	.332	.407	.433	.166	.428	.632	.127	.115	
		N	24	24	23	24	24	24	24	24	2

**Tabla 10.** *Análisis de correlación de Spearman en el área de Constante.* 

			Oxígeno	Temperatura	Salinidad	pН	Diatomeas	Dinoflagelados	Silicoflagelado s	Rafidofitas	Otros.flagelado s
		Coeficiente de correlación	1.000	.024	.245	,488	010	077	.014	.342	.049
		Sig. (bilateral)		.912	.273	.016	.965	.721	.950	.102	.821
		N	24	24	22	24	24	24	24	24	24
		Coeficiente de correlación	.024	1.000	.375	.290	,441 <sup>°</sup>	.263	.374	.021	,603
		Sig. (bilateral)	.912		.085	.169	.031	.213	.072	.922	.002
		N	24	24	22	24	24	24	24	24	24
		Coeficiente de correlación	.245	.375	1.000	,461 <sup>*</sup>	.032	046	.273	.380	.088
		Sig. (bilateral)	.273	.085		.031	.887	.837	.220	.081	.699
		N	22	22	22	22	22	22	22	22	22
		Coeficiente de correlación	,488 <sup>*</sup>	.290	,461 <sup>*</sup>	1.000	.026	.185	.097	.219	.104
		Sig. (bilateral)	.016	.169	.031		.904	.386	.652	.305	.627
		N	24	24	22	24	24	24	24	24	24
Rho de		Coeficiente de correlación	010	,441°	.032	.026	1.000	.231	.148	.180	,645
Spearman		Sig. (bilateral)	.965	.031	.887	.904		.277	.491	.400	.001
		N	24	24	22	24	24	24	24	24	24
	Dinoflagelados	Coeficiente de correlación	077	.263	046	.185	.231	1.000	118	.038	.205
		Sig. (bilateral)	.721	.213	.837	.386	.277		.583	.860	.337
		N	24	24	22	24	24	24	24	24	24
	Silicoflagelado s	Coeficiente de correlación	.014	.374	.273	.097	.148	118	1.000	142	.210
		Sig. (bilateral)	.950	.072	.220	.652	.491	.583		.507	.324
		N	24	24	22	24	24	24	24	24	24
		Coeficiente de correlación	.342	.021	.380	.219	.180	.038	142	1.000	.251
		Sig. (bilateral)	.102	.922	.081	.305	.400	.860	.507		.237
		N	24	24	22	24	24	24	24	24	24
	Otros.flagelado	correlación	.049	,603**	.088	.104	,645	.205	.210	.251	1.000
		Sig. (bilateral)	.821	.002	.699	.627	.001	.337	.324	.237	
		N	24	24	22	24	24	24	24	24	24

**Tabla 11.** *Análisis de correlación de Spearman en el área de Las Delicias.* 

			Oxígeno	Temperatura	Saliniddad	рН	Diatomeas	Dinoflagelados	S	Rafidofitas	S
Rho de	Oxígeno	Coeficiente de	1.000	.385	.222	,624**	.313	.126		.257	.165
Spearman		Sig. (bilateral)		.070	.335	.001	.146	.568		.236	.453
		N	23	23	21	23	23	23	23	23	23
		Coeficiente de correlación	.385	1.000	.218	,611	,500	.140		.354	.343
		Sig. (bilateral)	.070		.343	.002	.015	.523		.098	.109
		N	23	23	21	23	23	23	23	23	23
		Coeficiente de correlación	.222	.218	1.000	,605**	.057	067		.369	155
		Sig. (bilateral)	.335	.343		.004	.806	.773		.099	.503
		N	21	21	21	21	21	21	21	21	21
	pН	Coeficiente de correlación	,624	,611"	,605	1.000	.372	.007		.306	.114
		Sig. (bilateral)	.001	.002	.004		.080	.975		.156	.604
		N	23	23	21	23	23	23	23	23	23
	Diatomeas	Coeficiente de correlación	.313	,500	.057	.372	1.000	,445°		.354	.359
		Sig. (bilateral)	.146	.015	.806	.080		.033		.098	.093
		N	23	23	21	23	23	23	23	23	23
	Dinoflagelados	Coeficiente de correlación	.126	.140	067	.007	,445	1.000		.328	,424
		Sig. (bilateral)	.568	.523	.773	.975	.033	,		.126	.044
		N	23	23	21	23	23	23	23	23	23
		correlación									
		Sig. (bilateral)									
		N	23	23	21	23	23	23	23	23	23
	Rafidofitas	Coeficiente de correlación	.257	.354	.369	.306	.354	.328		1.000	.354
		Sig. (bilateral)	.236	.098	.099	.156	.098	.126			.098
		N	23	23	21	23	23	23	23	23	23
	Otros.flagelado s	Coeficiente de correlación	.165	.343	155	.114	.359	,424		.354	1.000
		Sig. (bilateral)	.453	.109	.503	.604	.093	.044		.098	
		N	23	23	21	23	23	23	23	23	2:

**Tabla 12.** *Análisis de correlación de Spearman en el área de Matacaballo.* 

			Oxígeno	Temperatura	Salinidad	pН	Diatomeas	Dinoflagelados	s	Rafidofitas	s
Rho de	- 3	Coeficiente de	1.000	,463°	,449 <sup>*</sup>	,680	.098	,437°	142	.305	.26
Spearman		Sig. (bilateral)		.020	.028	.000	.640	.029	.500	.138	.19
		N	25	25	24	25	25	25	25	25	2
Temperatura	Coeficiente de correlación	,463 <sup>*</sup>	1.000	.191	,687**	.305	,440 <sup>*</sup>	.057	.308	.108	
		Sig. (bilateral)	.020		.370	.000	.138	.028	.788	.134	.606
Salinidad	N	25	25	24	25	25	25	25	25	25	
	Coeficiente de correlación	,449 <sup>*</sup>	.191	1.000	,598**	.033	.097	.045	.077	.109	
	Sig. (bilateral)	.028	.370		.002	.878	.653	.834	.720	.613	
		N	24	24	24	24	24	24	24	24	24
	pH	Coeficiente de correlación	,680**	,687**	,598	1.000	.236	.352	.113	.112	.156
		Sig. (bilateral)	.000	.000	.002		.255	.085	.590	.592	.457
		N	25	25	24	25	25	25	25	25	25
		Coeficiente de correlación	.098	.305	.033	.236	1.000	.096	.170	.178	.152
		Sig. (bilateral)	.640	.138	.878	.255		.647	.417	.395	.467
		N	25	25	24	25	25	25	25	25	25
		correlación	,437 <sup>*</sup>	,440°	.097	.352	.096	1.000	.014	066	.072
		Sig. (bilateral)	.029	.028	.653	.085	.647		.946	.753	.732
		N	25	25	24	25	25	25	25	25	25
	s	Coeficiente de correlación	142	.057	.045	.113	.170	.014	1.000	075	.198
		Sig. (bilateral)	.500	.788	.834	.590	.417	.946		.721	.34
		N	25	25	24	25	25	25	25	25	2
Rafidofitas		Coeficiente de correlación	.305	.308	.077	.112	.178	066	075	1.000	.38
		Sig. (bilateral)	.138	.134	.720	.592	.395	.753	.721		.05
		N	25	25	24	25	25	25	25	25	2
		correlación	.267	.108	.109	.156	.152	.072	.198		1.00
		Sig. (bilateral)	.197	.606	.613	.457	.467	.732	.342	.056	
		N	25	25	24	25	25	25	25	25	2

**Tabla 13.** *Análisis de correlación de Spearman en el área de Parachique.* 

									Silicoflagelado		Otros.flagelado
			Oxígeno	Temperatura	Salinidad	pН	Diatomeas	Dinoflagelados	s	Rafidofitas	s
Rho de Spearman	Oxígeno	Coeficiente de correlación	1.000	.185	-,578 <sup>*</sup>	.452	.115	.174	304	091	073
		Sig. (bilateral)		.463	.019	.060	.651	.491	.220	.720	.773
		N	18	18	16	18	18	18	18	18	18
		Coeficiente de	.185	1.000	437	.218	.370	.242	304	327	275
		Sig. (bilateral)	.463		.090	.386	.130	.334	.220	.185	.270
		N	18	18	16	18	18	18	18	18	18
		Coeficiente de correlación	-,578 <sup>*</sup>	437	1.000	468	390	262		.084	038
		Sig. (bilateral)	.019	.090		.067	.135	.326		.757	.888
		N	16	16	16	16	16	16	16	16	16
		Coeficiente de	.452	.218	468	1.000	.221	.072	258	170	255
		Sig. (bilateral)	.060	.386	.067		.379	.776	.301	.501	.307
		N	18	18	16	18	18	18	18	18	18
	Diatomeas	Coeficiente de correlación	.115	.370	390	.221	1.000	,531°	257	.106	.07
		Sig. (bilateral)	.651	.130	.135	.379		.023	.303	.676	!
		N	18	18	16	18	18	18	18	18	18
	Dinoflagelados	correlación	.174	.242	262	.072	,531 <sup>*</sup>	1.000	211	.093	.208
		Sig. (bilateral)	.491	.334	.326	.776	.023		.402	.715	.408
		N	18	18	16	18	18	18	18	18	18
	Silicoflagelado s	correlación	304	304		258	257	211	1.000	086	.35
		Sig. (bilateral)	.220	.220		.301	.303	.402		.736	.154
		N	18	18	16	18	18	18	18	18	18
		Coeficiente de correlación	091	327	.084	170	.106	.093	086	1.000	.410
		Sig. (bilateral)	.720	.185	.757	.501	.676	.715	.736		.09
		N	18	18	16	18	18	18	18	18	18
	Otros.flagelado s	correlación	073	275	038	255	.071	.208	.351	.410	1.000
		Sig. (bilateral)	.773	.270	.888	.307	.779	.408	.154	.091	
		N	18	18	16	18	18	18	18	18	1

**Tabla 14.** *Análisis de correlación de Spearman en el área de Puerto Rico.* 

			Oxígeno	Temperatura	Salinidad	pН	Diatomeas	Dinoflagelados	Silicoflagelado s	Rafidofitas	Otros.flagelade s
Rho de Spearman	3	Coeficiente de correlación	1.000	.053	038	,680**	240	155	069	144	13
		Sig. (bilateral)		.802	.875	.000	.247	.458	.742	.491	.53
		N	25	25	20	25	25	25	25	25	5 2
		Coeficiente de correlación	.053	1.000	367	.333	190	009	004	129	
		Sig. (bilateral)	.802		.112	.104	.362	.965	.984	.540	.75
		N	25	25	20	25	25	25	25	25	5 2
	Salinidad	Coeficiente de	038	367	1.000	.157	.239	.096	.325	.332	03
		Sig. (bilateral)	.875	.112		.508	.310	.689	.162	.153	.88
		N	20	20	20	20	20	20	20	20	20
		Coeficiente de correlación	,680**	.333	.157	1.000	215	206	051	235	04
		Sig. (bilateral)	.000	.104	.508		.301	.324	.810	.259	.81
		N	25	25	20	25	25	25	25	25	5 2
	Diatomeas	Coeficiente de	240	190	.239	215	1.000	,477 <sup>*</sup>	,629**	.261	.210
		Sig. (bilateral)	.247	.362	.310	.301		.016	.001	.208	.29
		N	25	25	20	25	25	25	25	25	5 2
	Dinoflagelados	Coeficiente de correlación	155	009	.096	206	,477 <sup>*</sup>	1.000	,713	.128	.35
		Sig. (bilateral)	.458	.965	.689	.324	.016		.000	.541	.078
		N	25	25	20	25	25	25	25	25	2
	Silicoflagelado s	Coeficiente de correlación	069	004	.325	051	,629	,713	1.000	,471	.36
		Sig. (bilateral)	.742	.984	.162	.810	.001	.000		.018	.074
		N	25	25	20	25	25	25	25	25	5 2
		Coeficiente de correlación	144	129	.332	235	.261	.128	,471 <sup>*</sup>	1.000	08:
		Sig. (bilateral)	.491	.540	.153	.259	.208	.541	.018		.69
		N	25	25	20	25	25	25	25	25	5 2
	Otros.flagelado s	Coeficiente de correlación	132	.065	034	048	.216	.359	.363	083	1.00
		Sig. (bilateral)	.531	.757	.887	.819	.299	.078	.074	.695	5
		N	25	25	20	25	25	25	25	25	5 2

**Tabla 15.** *Análisis de correlación de Spearman en el área de San Pedro.* 

									Silicoflagelado		Otros.flagelad
			Oxígeno	Temperatura	Salinidad	pН	Diatomeas	Dinoflagelados	s	Rafidofitas	s
Rho de Spearman	Oxígeno	Coeficiente de correlación	1.000	.008	.246	.297	.192	.321	.287	090	.24
		Sig. (bilateral)		.972	.310	.203	.418	.168	.220	.705	.29
		N	20	20	19	20	20	20	20	20	) 2
	Temperatura	Coeficiente de correlación	.008	1.000	.127	,542	,504	.339	.223	.310	.06
		Sig. (bilateral)	.972		.604	.014	.024	.143	.346	.184	.80
		N	20	20	19	20	20	20	20	20	) 2
		Coeficiente de correlación	.246	.127	1.000	192	.206		.177	.180	
		Sig. (bilateral)	.310	.604		.432	.397	.894	.469	.462	.32
		N	19	19	19	19	19	19	19	19	1
		Coeficiente de	.297	,542	192	1.000	.106	.317	.229	.145	00
		Sig. (bilateral)	.203	.014	.432		.655	.173	.331	.543	.99
		N	20	20	19	20	20	20	20	20	) 2
	Diatomeas	Coeficiente de correlación	.192	,504 <sup>*</sup>	.206	.106	1.000	,632	,455°	.245	,564
		Sig. (bilateral)	.418	.024	.397	.655		.003	.044	.297	.01
		N	20	20	19	20	20	20	20	20	2
	Dinoflagelados	Coeficiente de	.321	.339	.033	.317	,632	1.000	.383	.312	.43
		Sig. (bilateral)	.168	.143	.894	.173	.003		.095	.180	.05
		N	20	20	19	20	20	20	20	20	) 2
	Silicoflagelado s	Coeficiente de correlación	.287	.223	.177	.229	,455°	.383	1.000	.317	,493
		Sig. (bilateral)	.220	.346	.469	.331	.044	.095		.173	.02
		N	20	20	19	20	20	20	20	20	) 2
	Rafidofitas	Coeficiente de correlación	090	.310	.180	.145	.245	.312	.317	1.000	.24
		Sig. (bilateral)	.705	.184	.462	.543	.297	.180	.173		.29
		N	20	20	19	20	20	20	20	20	) 2
	Otros.flagelado s	Coeficiente de correlación	.246	.060	.240	003	,564	.439	,493°	.246	1.00
		Sig. (bilateral)	.296	.801	.323	.990	.010	.053	.027	.295	5
		N	20	20	19	20	20	20	20	20	) :

**Tabla 16.** *Análisis de correlación de Spearman en el área de Vichayo.* 

			Oxígeno	Temperatura	Salinidad	рН	Diatomeas	Dinoflagelados	Silicoflagelado s	Rafidofitas	Otros.flagelado s
Rho de Spearman	Oxígeno	Coeficiente de correlación	1.000	,432°	346	,597	,488	.176	.317	289	.236
		Sig. (bilateral)		.045	.146	.003	.018	.422	.140	.181	.278
		N	23	22	19	23	23	23	23	23	23
	Temperatura	Coeficiente de correlación	,432 <sup>*</sup>	1.000	347	.390	.081	.093	136	361	.353
		Sig. (bilateral)	.045		.146	.072	.721	.682	.546	.099	.107
		N	22	22	19	22	22	22	22	22	22
	Salinidad	Coeficiente de correlación	346	347	1.000	088	-,578	127	.244		371
		Sig. (bilateral)	.146	.146		.721	.010	.604	.315		.118
		N	19	19	19	19	19	19	19	19	19
	pH	Coeficiente de correlación	,597	.390	088	1.000	.087	.398	.215	376	.253
		Sig. (bilateral)	.003	.072	.721		.695	.060	.324	.077	.245
		N	23	22	19	23	23	23	23	23	23
	Diatomeas	Coeficiente de	,488 <sup>*</sup>	.081	-,578**	.087	1.000	.091	.295	.004	.264
		Sig. (bilateral)	.018	.721	.010	.695		.680	.172	.985	.223
		N	23	22	19	23	23	23	23	23	23
	Dinoflagelados	correlación	.176	.093	127	.398	.091	1.000	.389	273	,436°
		Sig. (bilateral)	.422	.682	.604	.060	.680		.067	.208	.037
		N	23	22	19	23	23	23	23	23	23
		Coeficiente de	.317	136	.244	.215	.295	.389	1.000	161	.030
	S	Sig. (bilateral)	.140	.546	.315	.324	.172	.067		.463	.890
		N	23	22	19	23	23	23	23	23	23
	Rafidofitas	Coeficiente de correlación	289	361		376	.004	273	161	1.000	085
		Sig. (bilateral)	.181	.099		.077	.985	.208	.463		.700
		N	23	22	19	23	23	23	23	23	23
	Otros.flagelado s	correlación	.236	.353	371	.253	.264	,436°	.030	085	1.000
		Sig. (bilateral)	.278	.107	.118	.245	.223	.037	.890	.700	
		N	23	22	19	23	23	23	23	23	23